

## Effect of Foliar Application of Different Sources of Nano-Chelate Fertilizer (Nitrogen and Potassium) and Chemical Fertilizers (Urea and Potassium Nitrate) on Yield and Oil's Quantity Attributes of Olive Tree cv. Zard

Z. Rohi Vishekaii<sup>1\*</sup>, A. Soleimani<sup>2</sup>, M. Ghasemnezhad<sup>3</sup>, A. Hasani<sup>4</sup>

1- Researcher, Guilan Agricultural and Natural Resources Research and Education Center, Rasht, Iran

(\*- Corresponding Author Email: [zohre\\_rohi@yahoo.com](mailto:zohre_rohi@yahoo.com))

2- Professor, Department of Horticultural Science, University of Zanjan, Zanjan, Iran

3- Professor, Department of Horticultural Science, University of Guilan, Rasht, Iran

4- Professor, Department of Soil Science, University of Zanjan, Zanjan, Iran

Received: 13-03-2023

Revised: 26-12-2023

Accepted: 30-12-2023

Available Online: 20-03-2024

### How to cite this article:

Rohi Vishekaii, Z., Soleimani, A., Ghasemnezhad, M., & Hasani, A. (2024). Effect of foliar application of different sources of nano-chelate fertilizer (nitrogen and potassium) and chemical fertilizers (urea and potassium nitrate) on yield and oil's quantity attributes of olive tree cv. Zard. *Journal of Horticultural Science*, 38(1), 147-164. (In Persian with English abstract). <https://doi.org/10.22067/jhs.2023.81601.1246>

### Introduction

Olive tree, with a thousand years of cultivation history, is one of the most important horticultural crops in Iran and has always played an important economical role for orchardists. In olive orchards traits such as an increased formation of incomplete flowers, low yield of fruits and oil are often found as major problems. It should be noted that these traits are affected by numerous environmental and management factors from which the nutrition status is one of the most important ones. Proper nutrition plays an important role in both olive fruit and oil yield. There is a wide range of fertilizer compounds with different formulas and efficiencies available in the world market, among which nano-products are becoming increasingly popular. However, there is limited information on their efficacy in different plant species.

### Materials and Methods

In order to evaluate the impact of fertilizers on olive cultivation, a research was conducted during two successive years from 2019 to 2020 in a commercial orchard on 15 year old olive tree cv. 'Zard', in Manjil city of Guilan province. Foliar application included five treatments using two types of fertilizers; nano (nano-chelated nitrogen and potassium: nano-NK) and chemical fertilizers (urea and potassium nitrate; NK). Treatments involved application of two concentrations from each fertilizers sources; 1.02g and 0.81g (nano-N<sub>1</sub>K<sub>1</sub> and N<sub>1</sub>K<sub>1</sub>), 1.36 g and 1.08 g (nano-N<sub>2</sub>K<sub>2</sub> and N<sub>2</sub>K<sub>2</sub>) of pure nitrogen and potassium, respectively. Foliar application was conducted in four stages bud-swelling, before blooming, pit hardening and shortly after harvest of table olive. Spraying with water was considered as the control. The nano-chelated fertilizers were obtained from Khazra Company, Teheran, Iran (<http://en.khazra.ir>). Spraying with water was considered as control. The experiment was performed in a randomized block design with three replications. The measurement of leaf nutrient status and its chlorophyll and carbohydrate contents were carried out at two times each growing season; in August (during pit hardening stage) and October (shortly after the harvest of table olive). At the green ripening stage, fruits were collected and weighted to determine fruit yield. At the end of the experiment quantity and quality traits of oil were measured.

### Results and Discussion



©2023 The author(s). This is an open access article distributed under [Creative Commons Attribution 4.0 International License \(CC BY 4.0\)](https://creativecommons.org/licenses/by/4.0/), which permits use, sharing, adaptation, distribution and reproduction in any medium or format, as long as you give appropriate credit to the original author(s) and the source.

<https://doi.org/10.22067/jhs.2023.81601.1246>

The results showed that the trees under  $N_2K_2$  treatment had the highest yield. In terms of mineral content, both forms of fertilizers increased the concentration of nitrogen and potassium leaf elements compared to the control trees. Chlorophyll content was affected by nano- $N_1K_1$  foliar application and carbohydrate content was affected by nano- $N_1K_1$  in the pit hardening stage and nano- $N_2K_2$  in shortly after the harvest of table olive. Nano- $N_1K_1$  treatment with the lower crop load not only increased oil content but also improved quality characteristics of olive oil (free fatty acids, peroxide value, specific ultraviolet absorbance  $K_{232}$ ,  $K_{270}$  and contents of pigments), total phenol content, antioxidant capacity and fatty acid composition. Generally, the results showed that olive trees responded well to fertilizer feeding. These trees produced better crop and higher quality oil in comparison with control trees. According to the results, fruit yield is better under urea and potassium nitrate treatment, and the quality of olive oil is more stable after nano-chelated nitrogen and potassium foliar application. It seems that the reason for the high amount of fruit yield with  $N_2K_2$  in comparison to the slow-release property of nano-fertilizers is that using nitrogen and potassium in the form of ordinary chemical fertilizer regulates the biosynthesis, conversion and rapid translocation of assimilates and mineral elements into reproductive structures, which resulted in soaring yield. We assumed that nano- $N_1K_1$  foliar spray in the pit hardening stage and shortly after the fruit harvest for table olive might export the assimilation into the fruit to fulfill cell metabolism requirements for oil synthesis.

## Conclusion

The current findings indicated that two of four treatments, i.e. nano- $N_1K_1$  and  $N_2K_2$ , could be more effective on olive trees in terms of general fruit and oil attributes. It was remarkable that nano treatment with a lower concentration could provide adequate beneficial effects on quality characteristics of olive oil and is in line with good management strategies regarding the preservation of the environment. To the best of our knowledge, the current work is the first report considering the application of nano-chelated nitrogen and potassium and their use as a foliar application on olive trees. Additional studies would be necessary to further optimize the concentration and timing of the applications with these new formulations.

**Keywords:** Antioxidant capacity, Fatty acid profile, Foliar fertilizer, Olive

## تأثیر کاربرد برگی منابع مختلف کودی نانو کلات ( نیتروژن و پتاسیم) و کودهای شیمیایی (اوره و نترات پتاسیم) بر عملکرد و خواص کیفی روغن زیتون رقم 'زرد'

زهره روحی ویشکائی<sup>۱\*</sup> ID - علی سلیمانی<sup>۲</sup> - محمود قاسم نژاد<sup>۳</sup> - اکبر حسنی<sup>۴</sup>

تاریخ دریافت: ۱۴۰۱/۱۲/۲۲

تاریخ پذیرش: ۱۴۰۲/۱۰/۰۹

### چکیده

محدوده وسیعی از ترکیبات کودی با فرمول‌ها و کارایی‌های مختلف در بازارهای جهانی موجود می‌باشد. علاوه بر کودهای شیمیایی مرسوم، کودهای کمپلکس شده آلی در ابعاد نانو به‌عنوان یک نوآوری در بخش تغذیه کشاورزی محسوب می‌شوند. بنابراین، برای ارزیابی تأثیر چنین کودهایی در کشت و کار زیتون پژوهشی طی دو سال متوالی ۱۳۹۸ تا ۱۳۹۹ در یک باغ تجاری انجام گرفت. تیمارهای تغذیه شامل پنج تیمار از ترکیب عناصر نیتروژن و پتاسیم با دو منبع کودی نانو کود (نانو کود کلات نیتروژن و نانو کود کلات پتاسیم nano-NK) و کود شیمیایی (اوره و نترات پتاسیم NK) بود. مقدار کود استفاده شده از هر دو منبع شامل دو سطح از غلظت‌های ۱/۰۲ و ۰/۸۱ گرم در لیتر (nano-N<sub>1</sub>K<sub>1</sub> و nano-N<sub>2</sub>K<sub>2</sub>) و ۱/۳۶ و ۱/۰۸ گرم در لیتر (N<sub>2</sub>K<sub>2</sub> و nano-N<sub>2</sub>K<sub>2</sub>) به‌ترتیب نیتروژن و پتاسیم خالص بود که در چهار مرحله تورم جوانه، قبل از شکوفایی گل‌آذین، سخت شدن هسته میوه و بعد از برداشت کنسروی میوه روی درختان محلول‌پاشی برگی شد. درختان شاهد در همان مراحل زمانی با آب محلول‌پاشی شدند. نتایج نشان داد که درختان تحت تیمار N<sub>2</sub>K<sub>2</sub> دارای بالاترین عملکرد (۳۶/۴۳ کیلوگرم) بودند. از نظر محتوای عناصر معدنی هر دو فرم کاربردی کود منجر به افزایش غلظت عناصر نیتروژن و پتاسیم برگ در دو زمان اندازه‌گیری یعنی مراحل سخت شدن هسته میوه و بعد از برداشت کنسروی میوه در مقایسه با درختان شاهد شدند. بیشترین مقدار کلروفیل برگ مربوط به تیمار nano-N<sub>1</sub>K<sub>1</sub> با میانگین به‌ترتیب ۲/۶۰ و ۲/۴۸ میلی‌گرم بر گرم وزن تر در دو زمان اندازه‌گیری بود. تیمار nano-N<sub>1</sub>K<sub>1</sub> در مرحله سخت شدن هسته میوه و تیمار nano-N<sub>2</sub>K<sub>2</sub> در مرحله بعد از برداشت کنسروی میوه باعث افزایش مقدار کربوهیدرات برگ به‌ترتیب ۱/۳۹ و ۱/۴۸ برابر بالاتر از تیمار شاهد شد. تیمار nano-N<sub>1</sub>K<sub>1</sub> با وجود عملکرد کمتر، نه تنها باعث افزایش درصد روغن شد بلکه منجر به بهبود خصوصیات کیفی روغن (اسیدچرب آزاد، ارزش پراکسید، شاخص‌های K<sub>232</sub>، K<sub>270</sub> و رنگیزه‌های روغن)، محتوای فنل کل، آنتی‌اکسیدان و پروفایل اسید چرب نیز گردید. با توجه به نتایج به‌دست آمده، در مجموع عملکرد میوه تحت تأثیر تیمار کودهای اوره و نترات پتاسیم در غلظت بالاتر و ویژگی‌های کیفی روغن زیتون متأثر از تیمار با غلظت پائین‌تر نانو کلات قرار گرفت.

**واژه‌های کلیدی:** پروفایل اسید چرب، تغذیه برگی، زیتون، ظرفیت آنتی‌اکسیدان

### مقدمه

هزار ساله در مناطق مدیترانه‌ای و ایران می‌باشد (Saadati et al., 2013). علاوه بر میوه از روغن عالی آن، که دارای اثرات سلامتی بخش، ارزش تغذیه‌ای و دارویی بالایی می‌باشد، نیز برای تغذیه استفاده می‌شود. پایداری اکسیداتیو بالای روغن زیتون به‌علت میزان زیاد

زیتون با نام علمی (*Olea europaea* L.)، متعلق به خانواده Oleaceae، یک گیاه همیشه سبز با اهمیت اقتصادی و سابقه کشت

۱- محقق مرکز تحقیقات و آموزش کشاورزی و منابع طبیعی استان گیلان، رشت، ایران (\*- نویسنده مسئول: (Email: [zohre\\_rohi@yahoo.com](mailto:zohre_rohi@yahoo.com))

۲- دانشیار گروه علوم باغبانی، دانشکده کشاورزی دانشگاه زنجان، زنجان، ایران

۳- استاد گروه علوم باغبانی، دانشکده کشاورزی دانشگاه گیلان، رشت، ایران

۴- استادیار گروه خاکشناسی، دانشکده کشاورزی دانشگاه زنجان، زنجان، ایران

زیتون و پسته گردید (Ramezani & Shekafandeh, 2011; Norozi et al., 2019). بعلاوه کاربرد ترکیبی نیتروژن و پتاسیم منجر به افزایش عملکرد بذر و روغن در زیره سیاه شد (Aytac et al., 2017).

اطلاعات و پژوهش‌های کمی در خصوص تأثیرات نانو کود در مقایسه با کودهای مرسوم در گونه‌های مختلف گیاهی گزارش شده است. با این وجود به نقش محلول‌پاشی درختان انار با نانو کودهایی همچون نیتروژن، بور و کلسیم و اثرات مثبت آن در افزایش عملکرد، افزایش مواد جامد محلول، کیفیت میوه و غلظت عناصر برگی اشاره شده است (Davaranpanah et al., 2016, 2017 and 2018). مطالعه‌ای مشابه بر درختان خرما نشان داد کاربرد نانو پتاسیم منجر به افزایش عملکرد و کیفیت میوه در مقایسه با کود سولفات پتاسیم گردید (El-Salhy et al., 2021). بعلاوه محلول‌پاشی برگی درختان زیتون با نانو کلات نیتروژن و بور منجر به افزایش عملکرد و درصد روغن گردید (Rohi Vishekaii et al., 2019a, 2019b and 2021). گزارش شده است کاربرد کود پتاسیم به فرم نیترات پتاسیم در درختان زیتون منجر به افزایش عملکرد و کاربرد نانو کلات پتاسیم منجر به بهبود مشخصات کیفی روغن گردید (Rohi Vishekaii et al., 2022).

علی‌رغم مطالعه اثرات جداگانه کودهای مرسوم با نانو کود نیتروژن و پتاسیم روی درختان زیتون، اثر متقابل آن‌ها بررسی نشده است. بنابراین به کمک مطالعه اخیر اثرات محلول‌پاشی نیتروژن و پتاسیم از دو منبع کودی با هدف بررسی تأثیر سطوح مختلف آن‌ها بر عملکرد میوه و خواص کیفی روغن زیتون رقم زرد مورد بررسی قرار گرفت.

## مواد و روش‌ها

### محل آزمایش، مواد گیاهی و تیمارها

این پژوهش در طی دو سال (۱۳۹۸ و ۱۳۹۹) در باغ بعثت واقع در شمال ایران شهر منجیل (۳۶°۴۴' شمالی، ۴۹°۲۵' شرقی و با ۳۹۶ متر ارتفاع از سطح دریا) در استان گیلان روی درختان ۱۵ ساله زیتون رقم 'زرد' با فاصله کشت ۶×۸ متر اجرا شد. در انتخاب درختان سعی شد که همگی آن‌ها از نظر ارتفاع، سن، قطر، شرایط تغذیه و میزان آبیاری یکنواخت باشند. عملیات داشت شامل آبیاری (روش قطره‌ای)، مبارزه با آفات، بیماری‌ها و علف‌های هرز در طول مدت پژوهش برای تمامی تیمارها به‌طور یکسان انجام شد. قبل از شروع آزمایش بررسی وضعیت تغذیه‌ای باغ زیتون مورد نظر با استفاده از روش‌های آنالیز آب، تجزیه خاک (از دو عمق ۰-۳۰ و ۳۰-۶۰ سانتی‌متری) و ارزیابی محتوای مواد معدنی آن انجام شد (جدول ۱ و ۲).

اسیدهای چرب تک غیر اشباع به‌خصوص اولئیک اسید و نیز آنتی‌اکسیدان‌های طبیعی از جمله فنل‌ها، توکوفرول‌ها و سطح پایین اسیدهای چرب آزاد، رنگدانه‌ها و هیدروکربن‌ها می‌باشد (Owen, 2000; Carrasco-Pancorbo et al., 2005).

تغذیه‌ی بهینه از جمله مهمترین عوامل مؤثر بر افزایش تولید در واحد سطح و مؤثر بر فرآیندهای متابولیکی درونی در سیستم‌های بیولوژیکی می‌باشد (Başar & Gürel, 2016). براساس مطالعات صورت گرفته نیتروژن و پتاسیم از جمله عناصر غذایی هستند که بر عملکرد و کیفیت محصول درختان از جمله زیتون تأثیر می‌گذارند (Abbasi et al., 2012). نیتروژن مورد نیاز برای سنتز رنگیزه کلروفیل بوده و جزیی از ساختار پروتئین و اسیدهای نوکلئیک می‌باشد و همچنین نقش مهمی در افزایش عملکرد و کیفیت میوه دارد، به‌طوری که کمبود آن بیش از سایر عناصر غذایی منجر به محدودیت رشد اندام‌های گیاهی شامل ریشه، ساقه، برگ، گل و میوه و در نهایت کاهش عملکرد می‌شود (Barker & Pilbeam, 2007). پتاسیم نیز به‌عنوان کوفاکتور برای فعالیت اکثر آنزیم‌ها، در تنظیم pH و غلظت شیره سیتوپلاسم و نیز باز و بسته شدن روزنه‌ها نقش دارد (Thanaa et al., 2017).

کودهای شیمیایی نقش اساسی را در افزایش تولید محصولات کشاورزی در کشورهای در حال توسعه جهان بر عهده دارند. این در حالی است که مصرف بیش از حد کودهای شیمیایی منجر به آلودگی منابع آب و خاک خواهد شد. نانو کودها مؤثرترین و درعین حال ساده‌ترین شیوه به‌منظور کاهش تلفات عناصر غذایی و افزایش کارایی مصرف کودها می‌باشند (Rashidi, 2012). کاربرد نانو کودها به منظور کنترل دقیق آزادسازی عناصر غذایی می‌تواند گامی مؤثر در جهت دستیابی به کشاورزی پایدار و سازگار با محیط‌زیست باشد (2011 Scott and Chen, 2003; Naderi et al., 2015). پتانسیل کافی جهت ارائه راه حل‌هایی برای مشکلات اساسی کشاورزی ناشی از مصرف کودهای مرسوم می‌باشد و چشم اندازه‌های روشنی برای تأثیر بر بهره‌وری کشاورزی از طریق استفاده از فناوری نانو وجود دارد. در طی سال‌های گذشته کاربرد نانو کودها در حال گذار از مرحله آزمایشی به مرحله عملیاتی است (Baruah & Dutta, 2009; Mastronardi et al., 2015).

در بین روش‌های مختلفی که برای کاربرد عناصر وجود دارد محلول‌پاشی برگی به‌دلیل مصرف کمتر عناصر، توزیع یکنواخت و سرعت جذب مناسب می‌باشد (Inglese et al., 2002). گزارش شده است محلول‌پاشی برگی نیتروژن منجر به اثرات مثبت بر عملکرد و کیفیت میوه زیتون شد (Abd El Migeed et al., 2017). همچنین گزارش شده است محلول‌پاشی پتاسیم منجر به بهبود عملکرد درختان

جدول ۱- ويژگي‌هاي فيزيكي و شيميايي خاک باغ محل آزمايش  
Table 1- The soil physicochemical properties of experimental orchard

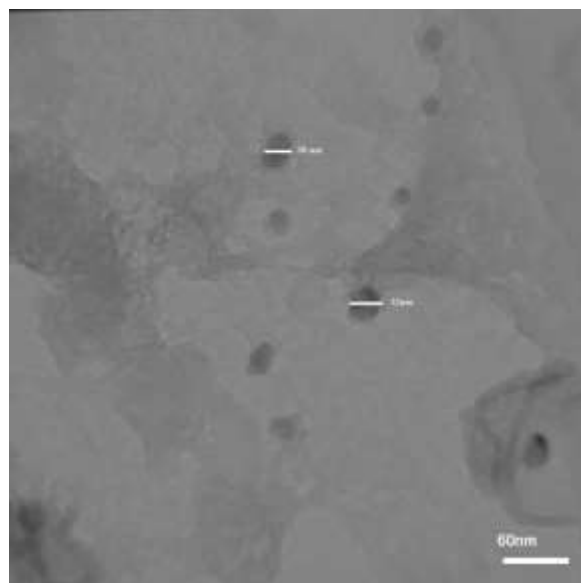
عمق خاک Soil depth (Cm)	بافت خاک Soil texture	pH	هدايت الكتريكي EC (dS.m <sup>-1</sup> )	ماده آلي Organic Matter (%)	نيتروژن Nitrogen (%)	فسفر Phosphorus (ppm)	پتاسيم Potassium (ppm)
0-30	لوم رسي Clay loam	7.12	2.55	1.29	0.11	15.8	105
30-60	لوم رسي Clay loam	7.16	1.78	1.48	0.14	18.50	130

جدول ۲- ويژگي‌هاي بيوشيميايي آب آبياري باغ محل آزمايش  
Table 2- The biochemical properties of Irrigation water in the experimental orchard

نمونه آب چاه Sample well water	هدايت الكتريكي Electrical conductivity (dS.m <sup>-1</sup> )	pH	كربنات Carbonate (mEq.l <sup>-1</sup> )	بي كربنات Bicarbonate (mEq.l <sup>-1</sup> )
باغ بعثت Besat garden	1.03	7.39	0.4	3.4

محلول پاشي شدند. كود شيميايي اوره با ۴۶ درصد نيتروژن داراي فرمول شيميايي NH<sub>2</sub>CONH<sub>2</sub>، كود شيميايي نيترات پتاسيم با ۴۴ درصد پتاسيم داراي فرمول شيميايي KNO<sub>3</sub>، كود نيتروژن و پتاسيم كمپلكس شده در ابعاد نانو به ترتيب با ۱۷ درصد نيتروژن و با ۲۷ درصد پتاسيم توليدي از شركت دانش بنيان صدور احراز شرق (خضراء) با پتنت US 8288587 B<sub>2</sub> تهيه شد (Nazaran, 2012). توزيع ذرات ميكروگراف ميكروسكوپ الكتروني عبوري (TEM) نشان مي دهد كه محصول حاوي نانو كلات همگن مي باشد (شكل ۱).

تيمارهاي تغذيه شامل پنج تيمار از تركيب عناصر نيتروژن و پتاسيم با دو منبع كودي نانو كود (نانو كلات نيتروژن و نانو كود كلات پتاسيم nano-NK) و كود شيميايي (اوره و نيترات پتاسيم NK) بود. مقدار كود استفاده شده از هر دو منبع شامل دو سطح از غلظت هاي ۱/۰۸ و ۱/۰۲ گرم در ليتر (nano-N<sub>1</sub>K<sub>1</sub> و N<sub>1</sub>K<sub>1</sub>) و ۱/۳۶ و ۱/۰۸ گرم در ليتر (nano-N<sub>2</sub>K<sub>2</sub> و N<sub>2</sub>K<sub>2</sub>) به ترتيب نيتروژن و پتاسيم خالص بود كه در چهار مرحله تورم جوانه، قبل از شكوفايي گل آذين، سخت شدن هسته ميوه و بعد از برداشت كنسروي ميوه روي درختان محلول پاشي برقي شد. درختان شاهد در همان مراحل زماني با آب



شكل ۱- ميكروگراف ميكروسكوپ الكتروني عبوري (TEM) از نانو كلات استفاده شده در مطالعه حاضر

Figure 1- Transmission electron microscopy (TEM) micrograph of nano chelated applied in the current study

## اندازه‌گیری صفات

برای اندازه‌گیری عناصر معدنی، کلروفیل و کربوهیدرات محلول، نمونه‌های برگ در دو زمان سخت شدن هسته (مرداد ماه) و بعد از برداشت میوه کنسروی (مهر ماه) تهیه شد. میزان عنصر نیتروژن به روش تقطیر و تیتراسیون در دستگاه کج‌لدال و اندازه‌گیری پتاسیم برگ با استفاده از دستگاه شعله‌سنج انجام شد (Walinga *et al.*, 1989). کلروفیل برگ با استفاده از اسپکتروفتومتر (PG) Instrument +80, Leicester, United Kingdom در طول موج‌های ۶۴۷ و ۶۶۴ نانومتر (Arnon, 1949) و کربوهیدرات محلول با استفاده از معرف آنترون و دستگاه اسپکتروفتومتر در طول موج ۶۲۰ نانومتر (Irigoyen *et al.*, 1992) اندازه‌گیری شد. به‌منظور تعیین عملکرد، میوه‌ها از درختان هر تیمار برداشت، وزن و به‌عنوان عملکرد (کیلوگرم هر درخت) لحاظ گردید (Shereen *et al.*, 2011). ابتدا از هر تکرار ۵۰ گرم خمیر میوه برداشته و در آن با دمای ۱۰۵ درجه سانتی‌گراد به‌مدت ۴۸ تا ۷۲ ساعت خشک گردید. خمیر خشک شده با استفاده از هاون به پودر یکنواختی تبدیل شد و سپس درصد روغن با استفاده از دستگاه سوکسله و توسط حلال استون اندازه‌گیری شد (Avidan *et al.*, 1997). اسید چرب آزاد روغن به روش تیتراسیون با سود تیترازول ۰/۱ نرمال، ارزش پراکسید به روش تیتراسیون با محلول ۰/۱ نرمال سدیم تیوسولفات و شاخص‌های  $K_{232}$ ،  $k_{270}$  با استفاده از دستگاه اسپکتروفتومتر در دو طول موج ۲۳۲ و ۲۷۰ نانومتر منطبق بر قوانین اتحادیه اروپا (EEC, 1991) اندازه‌گیری شد، میزان کلروفیل و کارتنوئید کل روغن با استفاده از دستگاه اسپکتروفتومتر به‌ترتیب در دو طول موج ۶۷۰ و ۴۷۰ نانومتر توسط روش مینگوئر-مسکورا و همکاران (Minguez-Mosquera *et al.*, 1991) تعیین شد. تعیین فنل کل به روش فولین سیکالچو با استفاده از دستگاه اسپکتروفتومتر (Singleton and Rossi, 1965)، ظرفیت آنتی‌اکسیدانی عصاره‌ها از طریق ویژگی مهارکنندگی رادیکال آزاد ۲ و ۲ دی فنیل ۱-پیکریل هیدرازیل (DPPH) با استفاده از دستگاه اسپکتروفتومتر در طول موج ۵۱۵ نانومتر به روش دو و همکاران (Du *et al.*, 2009) اندازه‌گیری شد. پروفایل اسید چرب روغن با استفاده از دستگاه گاز کروماتوگرافی (7890 A, Agilent Technologies, Wilmington, DE, USA) تعیین شد (Abbasi *et al.*, 2008).

## طرح آزمایشی و آنالیز داده‌ها

تجزیه و تحلیل آماری داده‌ها در قالب آزمایش تجزیه مرکب در پایه طرح بلوک کامل تصادفی با سه تکرار و در طی دو سال انجام شد. آنالیز داده‌ها با استفاده از نرم‌افزار SAS 9.1 و مقایسه میانگین داده‌ها با استفاده از آزمون LSD در سطح احتمال پنج درصد انجام گرفت.

## نتایج و بحث

## عناصر معدنی در برگ

وضعیت عناصر معدنی (درصد نیتروژن و پتاسیم) از هر تیمار در دو مرحله اندازه‌گیری شامل (مرحله سخت شدن هسته و بعد از برداشت میوه کنسروی) در جدول ۳ (A, B) نشان داده شد. مقایسه میانگین داده‌ها نشان داد که در مرحله اول اندازه‌گیری مصادف با زمان سخت شدن هسته بیشترین میزان عناصر نیتروژن و پتاسیم برگ در تیمارهای nano-N<sub>1</sub>K<sub>1</sub> و N<sub>2</sub>K<sub>2</sub> مشاهده شد، در مرحله بعد از برداشت میوه کنسروی تیمار شاهد کمترین مقدار نیتروژن برگ را نشان داد، اما بین سایر تیمارها اختلاف معنی‌داری وجود نداشت. مقدار پتاسیم برگ در مرحله بعد از برداشت میوه کنسروی به‌طور معنی‌داری تحت تیمار nano-N<sub>2</sub>K<sub>2</sub> قرار گرفت. با این وجود اختلاف معنی‌داری با تیمار N<sub>2</sub>K<sub>2</sub> مشاهده نشد.

از آنجاکه برگ اصلی‌ترین و مهم‌ترین محل سوخت و ساز گیاه است و غلظت عناصر غذایی در برگ در مراحل خاصی از رشد و تکامل گیاه، همبستگی خوبی با عملکرد گیاه دارد، بنابراین آنالیز برگی برای شناسایی وضعیت تغذیه گیاه و متعاقباً به‌منظور تعیین برنامه کودی مناسب به کار می‌رود (Fernández-Escobar *et al.*, 2009). در این بررسی هر دو منبع کود در مقایسه با درختان شاهد منجر به بهبود سطح عناصر نیتروژن و پتاسیم گردید، که می‌تواند به‌دلیل تغییر در فرایندهای فیزیولوژیکی و بیوشیمیایی بعد اعمال تیمارها همچون جذب آب و مواد مغذی در آوندها، بازیافت عناصر درون‌زا و هموستازی یونی و ... نسبت داده شود (Marschner 2012). هم سو با این نتایج گزارش شده است که محلول‌پاشی اوره بسیار مؤثر در افزایش غلظت نیتروژن برگی در درختان زیتون بوده است (Fernández-Escobar *et al.*, 2011). همچنین گزارش شده است کاربرد هر دو منبع کودی نانو کلات پتاسیم و نیترات پتاسیم منجر به بهبود محتوای عناصر برگی در مقایسه با درختان شاهد گردید (Rohi Vishekaii *et al.*, 2022).

جدول ۳- تجزیه واریانس (B) و مقایسه میانگین (A) تأثیر محلول پاشی برگی نانو کود و کود شیمیایی نیتروژن و پتاسیم بر محتوای عناصر برگی درختان زیتون رقم زرد

Table 3- ANOVA (B) and mean comparison (A) for the effect of nano and chemical foliar applications of nitrogen and potassium fertilizers on the leaf mineral composition of olive cv. Zard

تیمار Treatment	A			پتاسیم Potassium (%)
	نیتروژن Nitrogen (%)	بعد از برداشت میوه مرحله سخت شدن هسته کنسروی Shortly after harvest of table olive	مرحله سخت شدن هسته Pit hardening stage	
Control شاهد <sup>†</sup>	1.44 <sup>d</sup>	1.53 <sup>b</sup>	1.12 <sup>c</sup>	1.21 <sup>d</sup>
N <sub>1</sub> K <sub>1</sub>	1.58 <sup>c</sup>	2.09 <sup>a</sup>	1.43 <sup>b</sup>	1.60 <sup>c</sup>
N <sub>2</sub> K <sub>2</sub>	1.95 <sup>a</sup>	1.98 <sup>a</sup>	1.77 <sup>a</sup>	1.80 <sup>ab</sup>
nano- N <sub>1</sub> K <sub>1</sub>	1.88 <sup>a</sup>	1.93 <sup>a</sup>	1.65 <sup>a</sup>	1.69 <sup>bc</sup>
nano- N <sub>2</sub> K <sub>2</sub>	1.68 <sup>b</sup>	2.01 <sup>a</sup>	1.48 <sup>b</sup>	1.82 <sup>a</sup>
B میانگین مربعات Mean Square				
منابع تغییر S.O.V	درجه آزادی DF	نیتروژن Nitrogen (%)	پتاسیم Potassium (%)	بعد از برداشت میوه کنسروی Shortly after harvest of table olive
سال Year	1	0.67 <sup>**</sup>	0.76 <sup>**</sup>	0.21 <sup>*</sup>
تیمار Treatment	4	0.26 <sup>**</sup>	0.29 <sup>**</sup>	0.36 <sup>**</sup>
سال× تیمار Year× Treatment	4	0.03 <sup>**</sup>	0.07 <sup>**</sup>	0.01 <sup>ns</sup>
خطا Error	16	0.00 <sup>**</sup>	0.1	0.00
ضریب تغییر Coeff Var		3.22	5.40	5.56

<sup>†</sup> شاهد، (nano-N<sub>1</sub>K<sub>1</sub>- N<sub>1</sub>K<sub>1</sub>) و (nano- N<sub>2</sub>K<sub>2</sub>- N<sub>2</sub>K<sub>2</sub>) به ترتیب شامل صفر، (۱/۰۲ و ۱/۰۸) و (۱/۳۶ و ۱/۰۸) گرم نیتروژن و پتاسیم خالص می باشند. میانگین‌هایی با حروف مشابه اختلاف معنی‌داری در سطح احتمال ۵ درصد با استفاده از آزمون LSD ندارند. داده‌ها نشان‌دهنده میانگین دو سال متوالی می باشد.

\*, \*\*, ns به ترتیب نشان دهنده معنی‌دار در سطح احتمال ۵٪، معنی‌دار در سطح احتمال ۱٪ و عدم وجود اختلاف معنی‌دار Control, (nano-N<sub>1</sub>K<sub>1</sub>- N<sub>1</sub>K<sub>1</sub>) and (nano-N<sub>2</sub>K<sub>2</sub>- N<sub>2</sub>K<sub>2</sub>) are 0, (0.81 and 1.02) and (1.08 and 1.36) gram pure nitrogen and potassium, respectively.

Means with the same letter in each column were not significantly different using LSD test at  $p \leq 0.05$ . Data shown are means of two consecutive years.

\*, \*\*, and ns are significant at  $p \leq 0.05$ ,  $p \leq 0.01$  and not significant, respectively.

### صفات فتوسنتزی شامل رنگیزه کلروفیل و کربوهیدرات محلول

محتوای کلروفیل کل برگ در جدول ۴ (A و B) نشان می‌دهد که بیشترین مقدار کلروفیل برگ مربوط به تیمار nano-N<sub>1</sub>K<sub>1</sub> با میانگین به ترتیب ۲/۶۰ و ۲/۴۸ میلی‌گرم بر گرم وزن تر در دو زمان اندازه‌گیری شامل (مرحله سخت شدن هسته و بعد از برداشت میوه کنسروی) بود. کمترین مقدار نیز در درختان شاهد مشاهده گردید.

میزان کلروفیل یکی از فاکتورهای اصلی در ارتباط با فرایند فتوسنتز در گیاه می‌باشد. تأثیر تیمار nano-N<sub>1</sub>K<sub>1</sub> بر مقدار رنگیزه کلروفیل بیشتر از سایر تیمارها بود که احتمالاً می‌تواند به دلیل نقش عناصر معدنی همچون نیتروژن و پتاسیم باشد که در این تیمار در وضعیت بهتری مشاهده شد. نیتروژن بخش ضروری ساختار مولکول کلروفیل بوده و مورد نیاز در بیوسنتز آن می‌باشد. پتاسیم نیز به عنوان پیش ماده در سنتز رنگیزه‌های فتوسنتزی نقش دارد (Collins & Duke, 1981; Netto et al., 2005). بنابراین کاهش دسترسی به عناصر معدنی و آسمیلاتها می‌تواند دلیلی بر کاهش میزان کلروفیل برگ درختان

شاهد در مقایسه با سایر تیمارها باشد. علی‌رغم غلظت بالاتر عناصر برگی در مرحله بعد از برداشت میوه کنسروی مقدار کلروفیل در این زمان کمتر از مرحله سخت شدن هسته بود. این نتایج نشان می‌دهد که رنگیزه‌ها نه تنها تحت تأثیر عوامل داخلی همچون تغذیه قرار می‌گیرند. بلکه عوامل محیطی همچون نور و دما نیز اثرگذار می‌باشد. منطبق با این نتایج اثرات فاکتورهای محیطی مختلف همچون دما، فتوپریود، دسترسی به آب، مراحل ویژه بلوغ و تغذیه بر مقدار کلروفیل برگ گزارش شده است (Chen et al., 2011; Lee et al., 2011).

مقدار کربوهیدرات در درختان تحت تیمار در مقایسه با درختان شاهد افزایش یافت. غلظت کربوهیدرات در مرحله سخت شدن هسته در تیمار nano-N<sub>1</sub>K<sub>1</sub> ۱/۳۹ برابر بیشتر از تیمار شاهد بود. در مرحله بعد از برداشت میوه کنسروی، مقدار کربوهیدرات افزایش ۱/۴۸ برابری در تیمار nano-N<sub>2</sub>K<sub>2</sub> در مقایسه با درختان شاهد نشان شد (جدول ۴). افزایش کربوهیدرات محلول برگ پس از اعمال تیمارها در مقایسه با شاهد می‌تواند به نقش مهم نیتروژن در ساختار کلروپلاست، آسمیلاسیون دی اکسید کربن و فعالیت آنزیم‌های مستلزم در فتوسنتز باشد که منجر به افزایش فتوسنتز و تجمع کربوهیدرات می‌شود (Kumar et al., 2014; Ramezani et al., 2009). بعلاوه می‌تواند به‌واسطه نقش پتاسیم در فرایندهای آنزیمی و فعالیت‌های فتوسنتزی در ارتباط باشد (Saadati et al., 2013). همچنین به نظر می‌رسد مصرف کمتر کربوهیدرات در تیمار nano-N<sub>1</sub>K<sub>1</sub> طی عملکرد پایین‌تر دل‌بلی بر بالاتر بودن مقدار آن در مرحله اول اندازه‌گیری (مرحله سخت شدن هسته) باشد. در همین راستا گزارش شده است که تشکیل میوه و نمو آن فرایندهای اصلی در ارتباط با مصرف انرژی می‌باشند (De la Rosa et al., 2000). در مرحله بعد از برداشت میوه کنسروی مقدار کربوهیدرات در تیمار nano-N<sub>1</sub>K<sub>1</sub> کاهش یافت که احتمالاً به‌واسطه مصرف آن در فرایند سنتز روغن می‌باشد. گزارش شده است رابطه مثبت و معنی‌داری بین محتوای قند و تجمع روغن وجود دارد (Connor & Fereres, 2005). بعلاوه در توافق با این نتایج گزارش شده است در نتیجه کاربرد نانو نیتروژن و اوره بر روی درختان زیتون، مقدار کربوهیدرات برگ تحت تأثیر تیمار نانو افزایش یافت (Rohi et al., 2019).

#### عملکرد میوه و درصد روغن

نتایج جدول ۵ (A و B) نشان داد که اعمال تیمارها تأثیر قابل توجهی در بهبود عملکرد در مقایسه با درختان شاهد داشت. بیشترین عملکرد (۳۶/۴۳ کیلوگرم) مربوط به تیمار محلول‌پاشی N<sub>2</sub>K<sub>2</sub> بود. کاربرد این تیمار باعث گردید که عملکرد به میزان ۴۹/۲۱ درصد نسبت به تیمار شاهد افزایش یابد.

عملکرد به‌عنوان شاخص مهم برای تولیدکنندگان محسوب می‌شود. افزایش عملکرد در تیمار N<sub>2</sub>K<sub>2</sub> ممکن است به جذب سریعتر کودهای مرسوم در مقایسه با آزادسازی آرام و کنترل‌شده نانو کودها نسبت داده شود. بعلاوه به اثرات نیتروژن و پتاسیم بر بهبود وضعیت تغذیه‌ای درخت و افزایش فعالیت‌های متابولیسمی چون فتوسنتز، سنتز و انتقال فرآورده‌ها بستگی داشته باشد که منتهی به تحریک القا گل و افزایش تشکیل گل کامل و تشکیل میوه می‌شود. همچنین به‌نظر می‌رسد محلول‌پاشی در دو نوبت مرحله تورم جوانه و قبل از شکوفایی گل‌آذین زمانی که جوانه‌ها در حال نمو بوده و مواد فتوسنتزی زیادی نیاز دارد، توانسته است فتوسنتز را در حد مطلوب نگه‌داشته و در نتیجه تشکیل میوه و عملکرد را بالا ببرد. این یافته‌ها در توافق با مطالعات گذشته است که گزارش شده بود محدودیت دسترسی به عناصر تغذیه‌ای منجر به کاهش عملکرد می‌شود و وضعیت تغذیه‌ای درختان میوه بر روی عملکرد اثر می‌گذارد (Casero et al., 2004; Nestby et al., 2005). گزارش شده است محلول‌پاشی برگی اوره در درختان گیلاس و انار عامل اصلی افزایش عملکرد بوده است (Mitre et al., 2016; Hasani et al., 2012). بعلاوه منطبق با نتایج سایر محققان گزارش شده بود عملکرد میوه زیتون بعد از محلول‌پاشی با نیترات پتاسیم به‌طور قابل توجهی افزایش یافت (Hegazi et al., 2011; Sarrwy et al., 2010). محلول‌پاشی درختان زیتون با اوره در مقایسه با نانو کلات نیتروژن و نیترات پتاسیم در مقایسه با نانو کلات پتاسیم مقدار عملکرد بالاتری را نشان دادند (Rohi et al., 2021 and 2022). (Vishekaii

جدول ۵ (A و B) مؤید این مطلب است که بالاترین میزان درصد روغن تحت محلول‌پاشی با تیمار nano-N<sub>1</sub>K<sub>1</sub> (۵۷/۳۸ درصد) و پایین‌ترین مقدار مربوط به تیمار شاهد (۵۱/۱۸ درصد) بود.

دو منبع مهم برای آسمیلاسیون و تشکیل روغن وجود دارد. اولین مسیر کربوهیدراتی است که پس از انجام فرایند فتوسنتز در برگ تولید و به میوه منتقل می‌یابد و مسیر دوم کربوهیدراتی است که طی فتوسنتز در میوه سبز زیتون تشکیل می‌شود که پس از انجام فرایندهای آنزیمی تبدیل به اسید چرب می‌شود (Connor & Fereres, 2005). در این مطالعه به‌نظر می‌رسد افزایش درصد روغن پس از محلول‌پاشی با nano-N<sub>1</sub>K<sub>1</sub> در مراحل سخت شدن هسته و پس از برداشت میوه کنسروی می‌تواند به تأثیر آن بر تداوم فعالیت مسیر بیوسنتزی تری گلیسرید در میوه نسبت داده شود. سنتز مواد غذایی و افزایش دسترسی به فتوآسمیلات‌ها و همچنین انتقال این مواد به محل مصرف منجر به بهبود بیوسنتز روغن می‌شود. به‌طوری‌که منطبق با جدول ۳ و ۴ مقدار عناصر ضروری معدنی و کربوهیدرات در این تیمار در مرحله سخت شدن هسته بالاتر از سایر تیمارها بود که می‌تواند بر میزان فتوسنتز و تولید متابولیت‌های گیاه تأثیر گذاشته و در نهایت به انباشت روغن



بعلاوه تیمار درختان زیتون با نانو كلات نیتروژن منجر به افزایش درصد روغن در مقایسه با تیمار اوره شد (Rohi Vishekaii et al., 2021). همچنین این نتایج نشان دهنده ارتباط منفی بین درصد روغن و عملکرد میوه می باشد که احتمالاً به واسطه کاهش دسترسی به آسمیلات های مؤثر در سنتز روغن در شرایط عملکرد بالا می باشد (Gucci et al., 2007).

کمک نماید. فراهمی عناصر ضروری در مرحله فعالیت های حیاتی و حساس گیاه می تواند بر میزان فتوسنتز و تولید متابولیت های گیاه تأثیر گذاشته و در نهایت به انباشت روغن کمک نماید. در توافق با نتایج این تحقیق، اثرات مثبت کاربرد نیتروژن (Inglesias et al., 2002; Elbadawy et al., 2016) و کاربرد پتاسیم (Hegazi et al., 2011; Toplu et al., 2009) بر میزان روغن زیتون قبلاً گزارش شده است.

جدول ۴- تجزیه واریانس (B) و مقایسه میانگین (A) تأثیر محلول پاشی با نانو کود و کود شیمیایی نیتروژن و پتاسیم بر مقدار کلروفیل و کربوهیدرات برگ درختان زیتون رقم 'زرد'

Table 4- ANOVA (B) and mean comparison (A) for the effect of nano and chemical foliar applications of nitrogen and potassium fertilizers on the chlorophyll and carbohydrate contents of olive cv. Zard

A					
Treatment تیمار	محتوای کلروفیل Chlorophyll content (mg.g <sup>-1</sup> FW)		محتوای کربوهیدرات محلول Carbohydrate contents (mg.g <sup>-1</sup> DW)		
	مرحله سخت شدن هسته Pit hardening stage	بعد از برداشت میوه کنسروی Shortly after harvest of table olive	مرحله سخت شدن هسته Pit hardening stage	بعد از برداشت میوه کنسروی Shortly after harvest of table olive	
Control شاهد †	1.14 <sup>e</sup>	1.03 <sup>d</sup>	29.14 <sup>e</sup>	34.47 <sup>e</sup>	
N <sub>1</sub> K <sub>1</sub>	2.01 <sup>c</sup>	1.80 <sup>c</sup>	33.75 <sup>c</sup>	47.40 <sup>b</sup>	
N <sub>2</sub> K <sub>2</sub>	2.20 <sup>b</sup>	2.08 <sup>b</sup>	31.72 <sup>d</sup>	46.16 <sup>c</sup>	
nano- N <sub>1</sub> K <sub>1</sub>	2.60 <sup>a</sup>	2.48 <sup>a</sup>	40.53 <sup>a</sup>	41.82 <sup>d</sup>	
nano- N <sub>2</sub> K <sub>2</sub>	1.89 <sup>d</sup>	1.82 <sup>c</sup>	39.25 <sup>b</sup>	51.02 <sup>a</sup>	
B					
میانگین مربعات Mean Square					
منابع تغییر S.O.V	محتوای کلروفیل Chlorophyll content (mg.g <sup>-1</sup> FW)		محتوای کربوهیدرات محلول Carbohydrate contents (mg.g <sup>-1</sup> DW)		
	درجه آزادی DF	مرحله سخت شدن هسته Pit hardening stage	بعد از برداشت میوه کنسروی Shortly after harvest of table olive	مرحله سخت شدن هسته Pit hardening stage	
Year سال	1	0.71 <sup>**</sup>	0.88 <sup>**</sup>	88.37 <sup>**</sup>	114.66 <sup>**</sup>
Treatment تیمار	4	1.70 <sup>**</sup>	1.69 <sup>**</sup>	142.68 <sup>**</sup>	241.35 <sup>**</sup>
Year× Treatment سال×تیمار	4	0.005 <sup>ns</sup>	0.03 <sup>**</sup>	9.00 <sup>**</sup>	14.75 <sup>**</sup>
Error خطا	16	0.00	0.00	0.35	0.07
Coeff تغییر ضریب Var		3.23	3.68	1.71	0.61

به ترتیب شامل صفر، (۱/۰۲ و ۱/۰۸) و (۱/۳۶ و ۱/۰۸) گرم نیتروژن و پتاسیم خالص می باشند.

(nano- N<sub>2</sub>K<sub>2</sub>- N<sub>2</sub>K<sub>2</sub>) و (nano- N<sub>1</sub>K<sub>1</sub>- N<sub>1</sub>K<sub>1</sub>) شاهد. داده ها نشان دهنده میانگین دو سال متوالی می باشد.

میانگین هایی با حروف مشابه اختلاف معنی داری در سطح احتمال ۵٪ آزمون LSD ندارند.

ns و \*\* و \*\*\* به ترتیب نشان دهنده معنی دار در سطح احتمال ۵٪، معنی دار در سطح احتمال ۱٪ و عدم وجود اختلاف معنی دار

Control, (nano-N<sub>1</sub>K<sub>1</sub>- N<sub>1</sub>K<sub>1</sub>) and (nano-N<sub>2</sub>K<sub>2</sub>- N<sub>2</sub>K<sub>2</sub>) are 0, (0.81 and 1.02) and (1.08 and 1.36) gram pure nitrogen and potassium, respectively.

Means with the same letter in each column were not significantly different using Least Significant Difference test at p ≤ 0.05.

Data are means of two consecutive years. \*, \*\* and ns are significant at p ≤ 0.05, p ≤ 0.01 and not significant, respectively.

جدول ۵- تجزیه واریانس (B) و مقایسه میانگین (A) تاثیر محلول پاشی با نانو کود و کود شیمیایی نیتروژن و پتاسیم بر خصوصیات کمی و کیفی روغن زیتون رقم زرد  
 Table 5- ANOVA (B) and mean comparison (A) for the effect of nano and chemical foliar applications of nitrogen and potassium fertilizers on yield, quality and quantity of olive oil cv. Zard

Treatment تیمار	ماده خشک Olive oil in dry matter (%)	عملکرد Yield (kg.tree <sup>-1</sup> )	اسید چرب آزاد Free fatty acid (%)	ارزش پراکسید Peroxide value (meq O <sub>2</sub> .kg <sup>-1</sup> )	شاخص K <sub>232</sub>	شاخص K <sub>232</sub>	کلروفیل روغن Chlorophyll (mg.kg <sup>-1</sup> )	کاروتنوئید روغن Carotenoid (mg.kg <sup>-1</sup> )	محتوای فنل کل Total phenolic content (mg.kg <sup>-1</sup> oil)	ظرفیت اتمی اکسیدانی Antioxidant capacity (%)
Control	51.18 <sup>c</sup>	18.50 <sup>c</sup>	0.41 <sup>a</sup>	10.22 <sup>a</sup>	1.07 <sup>a</sup>	0.12 <sup>a</sup>	1.55 <sup>a</sup>	0.97 <sup>a</sup>	42.13 <sup>c</sup>	28.94 <sup>d</sup>
N <sub>1</sub> K <sub>1</sub>	56.05 <sup>b</sup>	24.03 <sup>c</sup>	0.33 <sup>ab</sup>	8.23 <sup>b</sup>	0.60 <sup>b</sup>	0.05 <sup>bc</sup>	2.21 <sup>b</sup>	1.41 <sup>c</sup>	59.20 <sup>b</sup>	39.79 <sup>d</sup>
N <sub>2</sub> K <sub>2</sub>	52.08 <sup>d</sup>	36.43 <sup>b</sup>	0.37 <sup>b</sup>	9.25 <sup>b</sup>	0.61 <sup>b</sup>	0.07 <sup>b</sup>	2.36 <sup>b</sup>	1.48 <sup>b</sup>	54.53 <sup>d</sup>	31.31 <sup>e</sup>
nano- N <sub>1</sub> K <sub>1</sub>	57.38 <sup>a</sup>	22.52 <sup>d</sup>	0.19 <sup>c</sup>	7.38 <sup>d</sup>	0.49 <sup>c</sup>	0.04 <sup>c</sup>	2.39 <sup>a</sup>	1.61 <sup>a</sup>	64.02 <sup>a</sup>	46.10 <sup>a</sup>
nano- N <sub>2</sub> K <sub>2</sub>	53.19 <sup>e</sup>	27.28 <sup>b</sup>	0.26 <sup>bc</sup>	9.18 <sup>b</sup>	0.60 <sup>b</sup>	0.07 <sup>b</sup>	2.15 <sup>b</sup>	1.42 <sup>c</sup>	61.66 <sup>b</sup>	40.31 <sup>b</sup>
<b>B</b>										
میانگین مربعات Mean Square										
منابع تغییر S.O.V	درجه آزادی DF	ماده خشک Olive oil in dry matter (%)	اسید چرب آزاد Free fatty acid (%)	ارزش پراکسید Peroxide value (meq O <sub>2</sub> .kg <sup>-1</sup> )	شاخص K <sub>232</sub>	شاخص K <sub>232</sub>	کلروفیل روغن Chlorophyll (mg.kg <sup>-1</sup> )	کاروتنوئید روغن Carotenoid (mg.kg <sup>-1</sup> )	محتوای فنل کل Total phenolic content (mg.kg <sup>-1</sup> oil)	ظرفیت اتمی اکسیدانی Antioxidant capacity (%)
Year	1	18.89 <sup>**</sup>	0.03 <sup>**</sup>	2.26 <sup>*</sup>	1.08 <sup>**</sup>	0.008 <sup>**</sup>	7.55 <sup>**</sup>	4.21 <sup>**</sup>	1601.47 <sup>**</sup>	178.51 <sup>**</sup>
Treatment	4	41.88 <sup>**</sup>	0.04 <sup>**</sup>	7.01 <sup>**</sup>	0.30 <sup>**</sup>	0.005 <sup>**</sup>	0.70 <sup>**</sup>	0.49 <sup>**</sup>	297.81 <sup>**</sup>	451.00 <sup>**</sup>
Year× Treatment	4	0.63 <sup>**</sup>	0.00 <sup>ns</sup>	0.13 <sup>ns</sup>	0.01 <sup>*</sup>	0.000 <sup>*</sup>	0.01 <sup>ns</sup>	0.19 <sup>**</sup>	111.96 <sup>**</sup>	27.90 <sup>**</sup>
Error	16	0.42	0.00	0.14	0.00	0.00	0.00	0.02	0.59	0.13
Coef تغییر ضریب Var		0.30	16.33	4.29	9.28	19.06	3.28	11.31	2.06	0.66

شاخص (K<sub>232</sub>-N<sub>2</sub>K<sub>2</sub>-nano) و (K<sub>232</sub>-N<sub>1</sub>K<sub>1</sub>-nano) شامل (۰/۲۶) و (۱/۰۸) و (۱/۰۸) گرم نیتروژن و پتاسیم خالص می باشد.

میانگین‌هایی با حروف مشابه اختلاف معنی داری در سطح احتمال ۵٪ معنی دار در سطح احتمال ۵٪ از بین ندارند.

ns و \*\* و \*\*\* به ترتیب نشان دهنده معنی دار در سطح احتمال ۵٪، معنی دار در سطح احتمال ۱٪ و عدم وجود اختلاف معنی دار.

Control, (nano-N<sub>1</sub>K<sub>1</sub>-N<sub>1</sub>K<sub>1</sub>) and (nano-N<sub>2</sub>K<sub>2</sub>-N<sub>2</sub>K<sub>2</sub>) are 0, (0.81 and 1.02) and (1.08 and 1.36) gram pure nitrogen and potassium respectively. Means with the same letter in each column were not significantly different using Least Significant Difference test at p ≤ 0.05.

\*, \*\* and ns are significant at p ≤ 0.05, p ≤ 0.01 and not significant, respectively.

می‌دهد. پراکسید محصول اولیه اکسیداسیون مواد چرب است و به‌طور کلی هر چقدر که درجه غیر اشباعیت روغن‌ها بیشتر باشد، روغن به فساد اکسیداتیو حساس‌تر خواهد بود. شاخص پراکسید براساس استاندارد شورای بین‌المللی زیتون و حدود پذیرفته شده اتحادیه اروپا برای روغن زیتون طبیعی ممتاز حداکثر ۲۰ اعلام شده است (Masumi & Arzani, 1998).

با توجه به جدول ۵ مقایسه میانگین داده‌ها مشاهده شد که تیمار nano-N<sub>1</sub>K<sub>1</sub> منجر به حفظ K<sub>232</sub> و K<sub>270</sub> در سطح پایین‌تری در مقایسه با سایر تیمارها شد اگرچه بین تیمارهای nano-N<sub>1</sub>K<sub>1</sub> و N<sub>1</sub>K<sub>1</sub> اختلاف معنی‌داری در صفت K<sub>270</sub> مشاهده نشد. بالاترین مقادیر صفات فوق تحت تأثیر تیمار شاهد قرار گرفت.

تعیین ضرایب جذب خاص در منطقه ماوراء بنفش برای برآورد میزان اکسیداسیون روغن زیتون مورد نیاز است. بالا بودن این شاخص نشانهٔ بو و طعم نامطلوب روغن است. در طی اکسیداسیون روغن، به دلیل آرایش مجدد پیوندهای دوگانه اسیدهای چرب غیراشباع، ترکیبات دی‌ان مزدوج تشکیل می‌شوند که میزان آن‌ها با جذب اشعه فرابنفش و در طول موج ۲۳۲ نانومتر تحت عنوان ضریب خاموشی K<sub>232</sub> نشان داده می‌شود و با گذشت زمان این ترکیبات به مشتقات کربنیلی اسیدهای چرب کوتاه‌تر (آلدهیدی و ستونی) تبدیل شده که نشان دهنده مرحله اکسیداسیون ثانویه بوده و با جذب اشعه فرابنفش در طول موج ۲۷۰ نانومتر ارزیابی می‌گردد و به آن ضریب خاموشی K<sub>270</sub> که نماد ترکیبات کربنیلی است اطلاق می‌گردد که شاخص بسیار مناسبی برای ارزیابی پایداری اکسیداسیونی روغن تلقی می‌شود (Zhong, 2005). میزان K<sub>232</sub> براساس استاندارد شورای بین‌المللی زیتون و حدود پذیرفته شده اتحادیه اروپا برای روغن زیتون طبیعی ممتاز حداکثر ۲/۴ اعلام شده است. این میزان برای K<sub>270</sub> حداکثر ۰/۲ اعلام شده است. بالا بودن کارایی و سطح مخصوص نانو ذرات اثرگذاری بیشتر تیمار نانو را می‌تواند توجیه کند (Monreal, 2010).

به‌طور کلی کیفیت و کمیت روغن زیتون به‌وسیله یک‌سری از فاکتورها شامل موقعیت جغرافیایی، شرایط آب و هوایی رقم و شرایط استخراج تأثیر می‌پذیرد (Dag et al., 2009). علاوه بر آن مشخصات روغن تحت تأثیر تغذیه نیز قرار می‌گیرد. به‌نظر می‌رسد بهبود خصوصیات کیفی روغن زیتون به‌واسطه نقش‌های متفاوت نیتروژن و پتاسیم در فرایندهای بیوشیمیایی و فیزیولوژیکی در گیاهان باشد. بعلاوه رابطه بین محتوای عناصر معدنی و کیفیت روغن زیتون نیز گزارش شده است (Guru et al., 2015). تیمار nano-N<sub>1</sub>K<sub>1</sub> در مقایسه با سایر تیمارها با توجه به خصوصیات بیوشیمیایی و فیزیکی و آرام، امکان جذب و اثرگذاری بر فرایندهای متابولیکی را فراهم نموده و اثرات مثبت بر خصوصیات کیفی روغن نشان داد.

با این‌وجود در درختان شاهد با کمترین عملکرد، درصد روغن در مقایسه با تیمار nano-N<sub>1</sub>K<sub>1</sub> افزایش نیافت. بنابراین به‌نظر می‌رسد علاوه بر عملکرد، نانو کودها از طریق مکانیزم‌هایی همچون همزمانی آزادسازی منابع تغذیه‌ای منطبق با نیاز گیاه و بهبود دسترسی به آسمیلات‌ها بر این پدیده اثرگذار بوده‌اند. با مطالعه منابع می‌توان گفت که تحقیق حاضر اولین گزارش در مورد تأثیر اثر متقابل نانو نیتروژن و پتاسیم بر میزان درصد روغن زیتون می‌باشد. بنابراین مکانیزم اثر آن‌ها هنوز ناشناخته می‌باشد.

### خصوصیات کیفی روغن زیتون

تغییرات خصوصیات کیفی روغن شامل (اسید چرب آزاد، ارزش پراکسید و ضرایب خاموشی) تحت تیمار با هر دو منبع کودی بررسی شد. مقایسه میانگین داده‌های جدول ۵ (A و B) مؤید این مطلب است که اسید چرب آزاد روغن پس از محلول‌پاشی با nano-N<sub>1</sub>K<sub>1</sub> در سطح پایین‌تری در مقایسه با سایر تیمارها حفظ شد اگرچه اختلاف آن با تیمار nano-N<sub>2</sub>K<sub>2</sub> از نظر آماری معنی‌دار نبود. بیشترین مقدار این صفت مربوط به تیمار شاهد بود اختلاف آن با تیمارهای N<sub>1</sub>K<sub>1</sub> و N<sub>2</sub>K<sub>2</sub> معنی‌دار نبود.

اسیدهای چرب آزاد روغن اولین و مهم‌ترین معیار سنجش کیفیت روغن زیتون و هم چنین بیانگر درجه فساد روغن نیز می‌باشد. اندازه‌گیری سطح اسیدهای چرب آزاد ساده‌ترین روش برای ارزیابی کیفیت روغن زیتون است با پیشرفت رسیدگی میوه به میزان اسیدهای چرب آزاد افزوده می‌شود، دلیل این افزایش نرمی بافت میوه و به تبع آن مستعد شدن به آسیب‌های پاتوژنیکی و مکانیکی و سرانجام افزایش فعالیت‌های لیپولیتیکی می‌باشد (Boskou, 1996). برحسب استاندارد شورای بین‌المللی روغن زیتون اسیدیته آزاد روغن زیتون بکر بر حسب درصد اولئیک اسید نباید بیشتر از ۰/۸ درصد باشد (IOOC, 2011) در این بررسی اسیدهای چرب آزاد بیشتر تحت تأثیر تیمارهای نانو قرار گرفت.

مقایسه میانگین ارزش پراکسید جدول ۵ (A و B) نشان داد که از لحاظ آماری تفاوت معناداری بین تیمارها وجود دارد. بالاترین مقدار این صفت مربوط به نمونه‌های روغن حاصل از درختان شاهد (meq O<sub>2</sub>. ۱۰/۲۲kg<sup>-1</sup>) و کمترین مقدار تحت تأثیر تیمار nano-N<sub>1</sub>K<sub>1</sub> (۷/۳۸meq O<sub>2</sub>. kg<sup>-1</sup>) قرار گرفت.

شاخص پراکسید دومین معیار سنجش کیفیت روغن است و همچنین به‌عنوان شاخصی برای مشخص کردن فساد آنتیمی و اکسیداتیو در روغن مورد استفاده قرار می‌گیرد. عدد پراکسید یکی از پرکاربردترین شاخص‌های کیفی است که مقدار کل پراکسیدهای موجود در روغن را به‌عنوان فرآورده‌های اولیه حاصل از اکسایش نشان

به تیمار محلول‌پاشی با  $\text{nano-N}_1\text{K}_1$  بود که ظرفیت آنتی‌اکسیدانی را ۱/۵۹ برابر نسبت به درختان شاهد افزایش داد.

ظرفیت آنتی‌اکسیدانی روغن زیتون به‌وسیله توانایی در فعالیت حذف‌کنندگی رادیکال‌های آزاد ارزیابی می‌شود (Covas et al., 2006). در این بررسی تأثیر مثبت  $\text{nano-N}_1\text{K}_1$  بر بهبود ظرفیت آنتی‌اکسیدانی نمونه‌های روغن مشاهده شد. دلیل افزایش ظرفیت آنتی‌اکسیدانی تحت این تیمار ممکن است به‌واسطه نقش نانوکود بر متابولیسم، جذب و انتقال آسمیلات‌ها باشد. بنابراین نتیجه دسترسی به این منابع می‌تواند منجر به تغییرات ظرفیت آنتی‌اکسیدانی باشد. در همین راستا گزارش شده است نانو ذرات می‌توانند متابولیسم گیاه را از طریق اثرگذاری بر خصوصیات فیزیولوژیکی تشویق و تحریک کنند و از این‌رو ارزش تغذیه‌ای ارتقا یابد (Ghormade et al., 2011). تجمع ترکیبات آنتی‌اکسیدانی در پاسخ به کاربرد نانو مواد نیز گزارش شد (Corral-Diaz et al., 2014). به‌نظر می‌رسد در این مطالعه افزایش ظرفیت آنتی‌اکسیدانی بخشی به‌واسطه افزایش ترکیبات فنلی و بخشی در نتیجه رنگیزه‌های کلروفیل و کارتنوئید باشد. ظرفیت آنتی‌اکسیدانی این ترکیبات قبلاً گزارش شده بود (Fernández-Escobar et al., 2006; Bradley & Tura Min, 1992). همین‌طور افزایش میزان ترکیبات آنتی‌اکسیدانی (فنل‌ها و  $\alpha$  توکوفرول) در درختان زیتون تحت محلول‌پاشی با پتاسیم و بهبود پایداری اکسیداتیو روغن گزارش شده است (Tekaya et al., 2013).

#### اسیدهای چرب اشباع و غیر اشباع

با توجه به مقایسه میانگین تیمارها مشاهده شد، محلول‌پاشی با نیتروژن و پتاسیم تأثیر معنی‌داری بر بهبود اسیدهای چرب اصلی روغن شامل اولئیک اسید، پالمیتیک اسید، پالمیتولئیک اسید، استئاریک اسید، لینولئیک اسید و لینولنیک اسید داشت (جدول ۶ A و B). در بین همه تیمارها بالاترین درصد چرب غیر اشباع اولئیک اسید (۶۹/۳۷٪) و کمترین درصد اسید چرب اشباع پالمیتیک اسید (۱۵/۱۹٪) مربوط به تیمار  $\text{nano-N}_1\text{K}_1$  بود. بالاترین و پایین‌ترین مقدار پالمیتولئیک اسید در تیمارهای مورد بررسی به‌ترتیب به تیمار شاهد و  $\text{N}_1\text{K}_1$  اختصاص داشت. بیشترین مقدار لینولنیک اسید و لینولنیک اسید در تیمار شاهد (اگرچه اختلاف بین شاهد و تیمارهای  $\text{N}_1\text{K}_1$  و  $\text{nano-N}_2\text{K}_2$  بر مقدار لینولنیک اسید غیر معنی‌دار بود) و کمترین مقدار آن‌ها در خصوص لینولنیک اسید در تیمار  $\text{nano-N}_1\text{K}_1$  و در خصوص صفت لینولنیک اسید در تیمارهای  $\text{nano-N}_1\text{K}_1$  محاسبه شد. اگرچه اختلاف آن با تیمارهای  $\text{N}_2\text{K}_2$  و  $\text{nano-N}_2\text{K}_2$  در صفت لینولنیک اسید معنی‌دار نبود. نتایج مقایسه میانگین تیمارها نشان داد که بیشترین مقدار اسید چرب اشباع روغن متعلق به تیمار شاهد و کمترین مقدار نیز مربوط به تیمار  $\text{nano-N}_1\text{K}_1$  بود که ظرفیت آنتی‌اکسیدانی روغن در همه نمونه‌ها کمتر از حد بالای تعیین شده برای روغن‌های با کیفیت عالی می‌باشد که می‌تواند به‌دلیل استفاده از میوه‌های سالم، فراوری در مقیاس کوچک و در نتیجه سرعت بالای فرایند کردن باشد.

با توجه به جدول ۵ مقایسه میانگین مشاهده شد که اعمال کلیه تیمارها در مقایسه با شاهد باعث افزایش معنی‌دار رنگیزه کلروفیل روغن گردید و تأثیر تیمارهای  $\text{nano-N}_1\text{K}_1$  و  $\text{N}_2\text{K}_2$  بیشتر از بقیه بود. محلول‌پاشی درختان با تیمار  $\text{nano-N}_1\text{K}_1$  محتوای رنگیزه کارتنوئید را ۳۹/۷۵ درصد نسبت به تیمار شاهد افزایش داد. محتوای رنگیزه‌های روغن به‌عنوان یک شاخص کیفی حایز اهمیت می‌باشد. زیرا در ارتباط با رنگ روغن و نقش کلیدی آن‌ها در پذیرش حسی در بین مصرف‌کنندگان می‌باشد (Saadati et al., 2013). کلروفیل و کارتنوئید دو رنگیزه اصلی در روغن زیتون می‌باشد محلول‌پاشی با هر دو فرم کودی منجر به بهبود رنگیزه‌ها نسبت به شاهد شد. این نتیجه می‌تواند به‌واسطه نقش ساختاری نیتروژن و اثر بخشی پتاسیم در سنتز کلروفیل باشد که بر مقدار رنگیزه در میوه و نهایتاً افزایش غلظت آن در روغن منتهی می‌شود.

#### فنل کل و ظرفیت آنتی‌اکسیدانی

منطبق با جدول تجزیه واریانس و مقایسه میانگین ۵ (A و B) مقدار فنل در تیمار  $\text{nano-N}_1\text{K}_1$  ۱/۵۱ برابر بالاتر از تیمار شاهد بود. پلی‌فنل‌ها آنتی‌اکسیدان‌های مهمی هستند که سیستم‌های بیولوژیکی را در مقابل رادیکال‌های آزاد حفظ می‌کنند این ترکیبات همچنین حاوی سیگنال‌های معینی برای پایداری روغن و مسئول طعم و بو روغن می‌باشند (Bendini et al., 2007). به‌نظر می‌رسد بهبود در دسترسی به آسمیلات‌ها، مواد معدنی و همچنین به‌واسطه نقش‌های شناخته شده نیتروژن و پتاسیم در بسیاری از فرایندهای فیزیولوژیکی و بیوشیمیایی، دلیلی بر افزایش ترکیبات فنلی تحت تیمار  $\text{nano-N}_1\text{K}_1$  در مقایسه با سایر تیمارها باشد. نانو کودها با بهبود کارایی عناصر غذایی، آزادسازی آرام و کنترل شده مواد غذایی دارای مزیت بوده و به‌عنوان یک فناوری نوین در بخش کشاورزی می‌باشند. محلول‌پاشی درختان زیتون با نانو نیتروژن در مقایسه با کود اوره منجر به افزایش فنل روغن گردید (Rohi Vishekaii et al., 2021). با این‌وجود این نتیجه پس از کاربرد نیترات پتاسیم و نانو کلات پتاسیم برعکس بود (Rohi et al., 2022). با توجه به نوین بودن این فناوری نیاز به تحقیقات و بررسی‌های بیشتری در خصوص مکانیزم عمل آن‌ها می‌باشد.

مطابق با جدول ۵ مقایسه میانگین داده‌ها، کلیه تیمارها نسبت به شاهد باعث افزایش ظرفیت آنتی‌اکسیدانی شدند. بیشترین تأثیر مربوط

مطالعه ديگر گزارش شد كه تیمار نيتروژن منجر به افزايش اولتيك اسيد و كمبود آن منجر به افزايش سطح پالميتيك اسيد در روغن زيتون شد (Bouhafa et al., 2014). همچنين افزايش در مقدار اولتيك اسيد در پاسخ به محلول پاشى با پتاسيم گزارش شده است (et al., 2013). پتاسيم نقش مهمى در فعاليت آنزيمهاى مؤثر در متابوليسم اسيدهاى چرب دارد. به طورى كه نقش پتاسيم در تنظيم فعاليت آنزيمهاى مؤثر در سنتز كربوهيدرات، پيرووات و در نهايت استيل كوآنزيم A به عنوان آغازگر جهت بيو سنتز اسيدهاى چرب به ويژه اولتيك اسيد گزارش شده است (Conde et al., 2008).

طبق استاندارد مللى ايران و شورى بين المللى زيتون ميزان اسيدهاى چرب روغن در تمامى نمونههاى مورد مطالعه از نظر پروفایل اسيدهاى چرب در محدوده استاندارد قرار داشتند و در تیمارهاى nano-N<sub>1</sub>K<sub>1</sub> اين شاخص در وضعيت بالاترى قرار داشت كه به نظر مى رسد دليل اين امر علاوه بر استفاده از ميوههاى سالم و عارى از آفات، نقش تغذيه درختان با nano-N<sub>1</sub>K<sub>1</sub> و بهبود وضعيت عناصر معدنى همچنين دسترسى به فتواسميلاتها باشد. همچنين به نظر مى رسد كه نانو ذرات مى توانند منجر به تغييرات فيزيولوژيكي و متابوليكي در سلولهاى گياهمى شود و نهايتاً منجر به بهبود كيفيت روغن شوند.

### نتيجه گيرى

به طور كلى استفاده از كودهاى شيميايى اوره و نترات پتاسيم در غلظت بالاتر (۱/۳۶ و ۱/۰۸ گرم در ليتر به ترتيب نيتروژن و پتاسيم خالص) باعث شد كه عملکرد ميوه افزايش يابد با اين وجود مقدار روغن و كيفيت آن بيشتر تحت تأثير استفاده از نانو كلات نيتروژن و پتاسيم در غلظت پايين تر (۱/۰۲ و ۰/۸۱ گرم در ليتر به ترتيب نيتروژن و پتاسيم خالص) قرار گرفت. بنابر اين نتايج بيانگر اهميت اسپرى نانو كود به دليل کاهش ورود مواد شيميايى به محيط زيست مى باشد. اين مؤلفهها علاوه بر توليد كنندگان براى مصرف كنندگان نيز قابل توجه مى باشد. با عنايت به اين كه کاربرد نانو كود به منظور بهبود رشد و توليد در درختان علم كاملاً نوپايى بوده است، نياز به تحقيقات گسترده تری مى باشد. به طورى كه بسيارى از ساز و كارهاى تأثير پذير گياه در پاسخ به استعمال نانو ذرات همچنان ناشناخته است، بنابر اين به نظر مى رسد دسترسى به نتايج مطلوب و مطمئن مستلزم انجام تحقيقات بيشترى مى باشد.

N<sub>1</sub>K<sub>1</sub> بود. مشاهده شد كه تیمار nano-N<sub>1</sub>K<sub>1</sub> اسيد چرب غير اشباع و نسبت اسيد چرب غير اشباع به اسيد چرب اشباع بيشترى نسبت به ساير تیمارها داشت و تیمار شاهد كمترين مقدار اين شاخصها را به خود اختصاص داد (جدول ۶ A و B). پايدارى روغن زيتون قوياً در ارتباط با پروفایل اسيدهاى چرب مى باشد. اولتيك اسيد اصلى ترين اسيد چرب غير اشباع موجود در روغن زيتون، بر طبق استاندارد كوكس و IOOC ۵۵ تا ۸۳ درصد چربى كل را تشكيل مى دهد (Beltrán et al., 2004). اسيد پالميتيك مهمترين اسيد چرب اشباع در انواع روغن زيتون ۷/۵ تا ۲۰ درصد مى باشد. همچنين استتاريك اسيد به عنوان دومين اسيد چرب اشباع در محدوده ۰/۵ تا ۵ درصد مى باشد.

پالميتيك اسيد، اسيد چرب اشباع نامطلوب و اولتيك اسيد يك اسيد چرب اشباع مهم و مطلوب در روغن زيتون مى باشد (Beltrán 2005). در اين مطالعه پالميتيك اسيد و اولتيك اسيد با يك تمايلات متضاد با هم در پاسخ به nano-N<sub>1</sub>K<sub>1</sub> تأثير پذيرفتند. علاوه اسيد چرب تك غير اشباع و نسبت آن به اسيد چرب اشباع پارامتر خيلى مهم در روغن زيتون بوده و بر پايدارى اكسيداتيوى روغن مؤثر مى باشد (Beltrán et al., 2005). اين پارامترها نيز توسط تیمار nano-N<sub>1</sub>K<sub>1</sub> تأثير پذيرفت. به طور كلى، اسيدهاى چرب غير اشباع چندانگانه در روغن زيتون لينولنيك و لينولنيك است. بر اساس استاندارد لينولنيك اسيد در روغن زيتون فرا بزرگتر از ۱ درصد باشد و مقدار لينولنيك اسيد در روغن زيتون بين ۳/۵ تا ۲۱ درصد مى باشد. محتوای بالای اين دو اسيد در روغن نامطلوب مى باشد (Mailer & Beckingham, 2006). كه در درختان شاهد بالاتر از ساير تیمارها بود. گزارش شده است كه موقعيت اسيد چرب تحت تأثير فاكترهاى مختلف از جمله مقدار عملکرد قرار مى گيرد (Beltrán et al., 2004). در اين بررسى بهبود در موقعيت اسيد چرب در تیمار nano-N<sub>1</sub>K<sub>1</sub> كه عملکرد پايين ترى نسبت به ساير تیمارها به جز تیمار شاهد داشت مشاهده گرديد. با اين وجود در درختان شاهد با کاهش عملکرد در مقايسه با كليه تیمارها پروفایل اسيد چرب بهبود نيافت. از اين رو مشخص مى گردد كه موقعيت اسيد چرب همچنين تحت تأثير تیمار تغذيه نيز قرار گرفت. در تطابق با اين یافتهها گزارش شده است كه اين شاخصها مى تواند به وسيله تغذيه با نيتروژن بهبود يابد (Holmes & Bennett, 1979). علاوه تأثير پتاسيم در بهبود پروفایل اسيدهاى چرب روغن زيتون نيز گزارش شده است (Thanaa et al., 2017; Froment et al., 2000).

جدول ۶- تجزیه واریانس (B) و مقایسه میانگین (A) تاثیر محلول‌پاشی با نانو کود و کود شیمیایی زیروژن و پتاسیم بر پروفایل اسیدهای چرب روغن زیتون رقم ژرد  
Table 6- ANOVA (B) and mean comparison (A) for the effect of nano and chemical foliar applications of nitrogen and potassium fertilizers on the oil fatty acid profile of olive cv. Zard

Treatment تیمار	میانگین مربعیات Mean Square									
	پالمیتیک اسید Palmitic acid (%)	استئاریک اسید Stearic acid (%)	اولیک اسید Oleic acid (%)	پالمیتوئیک اسید Palmitoleic acid (%)	لینولئیک اسید Linoleic acid (%)	لینولئیک اسید Linolenic acid (%)	اسید چرب تک Monounsatur ated fatty acids	اسید چرب Saturated fatty acids	اسید چرب تک غیر چرب MUFA/ SFA	اسید چرب تک غیر چرب MUFA/ SFA
Control	17.75 <sup>a</sup>	3.12 <sup>ab</sup>	56.43 <sup>c</sup>	1.63 <sup>a</sup>	0.48 <sup>a</sup>	19.94 <sup>a</sup>	58.06 <sup>d</sup>	20.87 <sup>a</sup>	2.78 <sup>d</sup>	2.78 <sup>d</sup>
N K <sub>1</sub>	16.23 <sup>b</sup>	3.29 <sup>a</sup>	64.61 <sup>a</sup>	1.02 <sup>c</sup>	0.46 <sup>a</sup>	14.39 <sup>b</sup>	65.63 <sup>b</sup>	19.52 <sup>b</sup>	3.36 <sup>c</sup>	3.36 <sup>c</sup>
N K <sub>2</sub>	16.11 <sup>b</sup>	3.14 <sup>ab</sup>	63.75 <sup>b</sup>	1.27 <sup>b</sup>	0.33 <sup>b</sup>	13.23 <sup>b</sup>	65.03 <sup>c</sup>	19.25 <sup>b</sup>	3.37 <sup>c</sup>	3.37 <sup>c</sup>
nano- N K <sub>1</sub>	15.19 <sup>b</sup>	1.74 <sup>c</sup>	69.37 <sup>a</sup>	1.25 <sup>b</sup>	0.30 <sup>b</sup>	11.09 <sup>b</sup>	70.62 <sup>a</sup>	16.93 <sup>d</sup>	4.17 <sup>c</sup>	4.17 <sup>c</sup>
nano- N K <sub>2</sub>	15.66 <sup>b</sup>	2.92 <sup>bc</sup>	66.34 <sup>b</sup>	1.32 <sup>b</sup>	0.37 <sup>ab</sup>	13.28 <sup>a</sup>	67.67 <sup>b</sup>	18.58 <sup>c</sup>	3.64 <sup>b</sup>	3.64 <sup>b</sup>
Year	14.00 <sup>***</sup>	0.65 <sup>*</sup>	126.03 <sup>**</sup>	0.18 <sup>*</sup>	0.69 <sup>***</sup>	89.78 <sup>**</sup>	116.70 <sup>**</sup>	8.58 <sup>**</sup>	213.01 <sup>**</sup>	213.01 <sup>**</sup>
Treatment	5.59 <sup>**</sup>	0.27 <sup>**</sup>	137.97 <sup>**</sup>	0.28 <sup>**</sup>	0.03 <sup>**</sup>	66.38 <sup>**</sup>	129.65 <sup>**</sup>	12.42 <sup>**</sup>	273.59 <sup>**</sup>	273.59 <sup>**</sup>
Year* Treatment	0.05 <sup>ns</sup>	0.21 <sup>**</sup>	3.22 <sup>**</sup>	0.03 <sup>**</sup>	0.04 <sup>**</sup>	1.75 <sup>**</sup>	3.02 <sup>**</sup>	0.16 <sup>ns</sup>	16.72 <sup>*</sup>	16.72 <sup>*</sup>
Error	0.06	0.02	0.20	0.00	0.005	0.09	0.15	0.05	0.58	0.58
Coeff V <sub>err</sub>	1.57	5.53	0.70	4.81	9.28	2.18	0.60	1.27	2.98	2.98

شاهد (nano-N<sub>1</sub>K<sub>1</sub>-N<sub>1</sub>K<sub>1</sub>) و (nano-N<sub>1</sub>K<sub>2</sub>-N<sub>1</sub>K<sub>2</sub>) و (nano-N<sub>2</sub>K<sub>1</sub>-N<sub>2</sub>K<sub>1</sub>) و (nano-N<sub>2</sub>K<sub>2</sub>-N<sub>2</sub>K<sub>2</sub>) گرم زیروژن و پتاسیم خالص می‌باشد.

شاهد (NS و \*\*) با ترتیب نشان دهنده معنی دار در سطح احتمال 5٪، معنی دار در سطح احتمال 1٪ و عدم وجود اختلاف معنی دار.

Control<sub>1</sub> (nano-N<sub>1</sub>K<sub>1</sub>-N<sub>1</sub>K<sub>1</sub>) and Control<sub>2</sub> (nano-N<sub>2</sub>K<sub>1</sub>-N<sub>2</sub>K<sub>1</sub>) are 0, (0.81 and 1.02) and (1.08 and 1.36) gr pure nitrogen and potassium respectively.

Means with the same letter in each column were not significantly different using Least Significant Difference test at p ≤ 0.05. \*, \*\* and ns are significant at p ≤ 0.05, p ≤ 0.01 and not significant, respectively.

## سیاسگزاری

از دانشگاه زنجان و دانشگاه گیلان برای در اختیار قرار دادن امکانات لازم جهت انجام این پژوهش و نیز از مسئول محترم باغ

بعثت، برای مساعدت بی‌دریغشان در زمینه انجام این تحقیق، تشکر و قدردانی می‌شود.

## References

1. Abbasi, H., Rezaei, K., & Rashidi, L. (2008). Extraction of essential oils from the seeds of pomegranate using organic solvents and supercritical CO<sub>2</sub>. *Journal of the American Oil Chemists' Society*, 85, 83-89. <https://doi.org/10.1007/s11746-007-1158-x>
2. Abbasi, Y., Bakhshi, D., Forghani, A., Sabouri, A., & Porghauomy, M. (2012). Effect of macro and micronutrients sprays on fruit quality and quantity of zard and rowghani olive cultivar. *American-Eurasian Journal Agricultural Environment Science*, 12, 1548-1552. <https://doi.org/10.5829/idosi.ajeaes.2012.12.12.1907>
3. Abd El Migeed, M., El-Attar, H., ElRheem, K.M.A., Hassan, S., & Saleh, M. (2017). Response of Picual olive trees to urea winter sprays. *Middle East Journal of Agriculture Research*, 6(4), 1431-1437.
4. Arnon, D. (1949). Copper enzyme polyphenoloxides in isolated chloroplast in *Beta vulgaris*. *Plant Physiology*, 24, 1-15. <https://doi.org/10.1104/pp.24.1.1>
5. Avidan, B., Ogrodovitch, A., & Lavee, S. (1997). A reliable and rapid shaking system for determination of the oil content in olive fruits. *Olivae*, 67, 44-47. <https://doi.org/10.17660/ActaHortic.1999.474.135>
6. Aytac, Z., Gulmezoglu, N., Saglam, T., Gokhan Kulan, E., Selengil, U., & Levent Hosgun, H. (2017). Changes in N, K, and fatty acid composition of black cumin seeds affected by nitrogen doses under supplemental potassium application. *Journal of Chemistry*, 1-8. <https://doi.org/10.1155/2017/3162062>
7. Barker, A.V., & Pilbeam, D.J. (2007). *Handbook of plant nutrition*. CRC Press, Taylor and Francis Group.
8. Baruah, S., & Dutta, J. (2009). Nanotechnology applications in sensing and pollution degradation in agriculture. *Environmental Chemistry Letters*, 7, 191-204.
9. Başar, H., & Gürel, S. (2016). The influence of Zn, Fe and B applications on leaf and fruit absorption of table olive "Gemlik" based on phenological stages. *Scientia Horticulturae*, 198, 336-343.
10. Bellaloui, N., Yin, X., Mengistu, A., McClure, A.M., Tyler, D.D., & Reddy, K.N. (2013). Soybean seed protein, oil, Fatty acids, and isoflavones altered by potassium fertilizer rates in the Midsouth. *American Journal of Plant Sciences*, 7, 976-988.
11. Beltrán, G., Del Rio, C., Sanchez, S., & Martinez, L. (2004). Influence of harvest date and crop yield on the fatty acid composition of virgin olive oils from Cv. Picual. *Journal of Agricultural and Food Chemistry*, 52, 3434-3440. <https://doi.org/10.1021/jf049894n>
12. Beltrán, G., Aguilera, M.P., Del Rio, C., Sanchez, S., & Martinez, L. (2005). Influence of fruit ripening process on the natural antioxidant content of Hojiblanca virgin olive oils. *Food Chemistry*, 89, 207-215. <https://doi.org/10.1016/j.foodchem.2004.02.027>
13. Bendini, A., Cerretani, L., Carrasco-Pancorbo, A., Gómez-Caravaca, A., Segura-Carretero, A., Fernández-Gutiérrez, A., & Lercker, G. (2007). Phenolic molecules in virgin olive oils: a survey of their sensory properties, health effects, antioxidant activity and analytical methods. An overview of the last decade Alessandra. *Molecules*, 12, 1679-1719.
14. Boskou, D. (1996). *Olive oil chemistry and technology*. USA: AOCS Press, Champaign, Illinois. Brussard, L., Ferrera-Cenato, R. 1997. Soil ecology in sustainable agricultural systems. New York: Lewis publishers, U. S. A. 168 P.
15. Bouhafa, K., Moughli, L., Bouchoufi, K., Douaik, A., & Daoui, K. (2014). Nitrogen fertilization of olive orchards under rainfed Mediterranean condition. *American Journal of Experimental Agriculture*, 4, 890-901. <https://doi.org/10.9734/AJEA/2014/8719>
16. Bradley, D.G., & Min, D.B. (1992). Singlet oxygen oxidation of foods. *Critical Reviews in Food Science and Nutrition*, 31, 211-236.
17. Carrasco-Pancorbo, A., Cerretani, L., Bendini, A., Segura-Carretero, A., Delcarelo, M., Gallina-Toschi, T., Lercker, G., Compagnone, D., & Fernandez-Gutierrez, A. (2005). Evaluation of the antioxidant capacity of individual phenolic compounds in virgin olive oil. *Agricultural and Food Chemistry*, 53, 8918- 8925.
18. Casero, T., Benavides, A., Puy J., & Recasens, I. (2004). Relationships between leaf and fruit nutrients and fruit quality attributes in Golden Smoothie apples using multivariate regression techniques. *Journal of Plant Nutrition*, 27, 313-324. <https://doi.org/10.1081/PLN-120027656>
19. Chen, M., Li J., Dai, X., Sun, Y., & Chen, F. (2011). Effect of phosphorus and temperature on chlorophyll a contents and cell sizes of *Scenedesmus obliquus* and *Microcystis aeruginosa*. *Limnology*, 12, 187-192. <https://doi.org/10.1007/s10201-010-0336-y>
20. Collins, M., & Duke, S.H. (1981). Influence of potassium-fertilization rate and form on photosynthesis and N<sub>2</sub> fixation of Alfalfa. *Crop Science*, 21, 481-485.
21. Connor, D.J., & Fereres, E. (2005). The physiology of adaptation and yield expression in olive. *Horticultural Reviews*, 31, 155-229.
22. Corral-Diaz, B., Peralta-Videa, J.R., Alvarez-Parrilla, E., Rodrigo-García, J., Morales, M.I., Osuna-Avila, P., Niu G., Hernandez-Viezcas, J.A., & Gardea-Torresdey, J.L. (2014). Cerium oxide nanoparticles alter the antioxidant capacity but do not impact tuber ionome in *Raphanus sativus* (L). *Plant Physiology and Biochemistry*, 84, 277-285.

23. Covas, M.I., Ruiz-Gutiérrez, V., De La Torre, R., Kafatos, A., Lamuela-Raventós, R.M., Osada, J., Owen, R.W., & Visioli, F. (2006). Minor components of olive oil: evidence to date of health benefits in humans. *Nutrition Reviews*, 64, S20-S30.
24. Dag, A., Ben-David, E., Kerem, Z., Ben-Gal, A., Erel, R., Basheer, L., & Yermiyahu, U. (2009). Olive oil composition as a function of nitrogen, phosphorus and potassium plant nutrition. *Journal of the Science of Food and Agriculture*, 89, 1871–1878.
25. Davarpanah, S., Tehranifar, A., Abadía, J., Val, J., Davarynejad, G., Aran, M., & Khorassani, R. (2018). Foliar calcium fertilization reduces fruit cracking in pomegranate (*Punica granatum* cv. Ardestani). *Scientia Horticulturae*, 230, 86-91. <https://doi.org/10.1016/j.scienta.2017.11.023>
26. Davarpanah, S., Tehranifar, A., Davarynejad, G. H., Aran, M., Abadía, J., & Khorassani, R. (2017). Effects of foliar nano-nitrogen and urea fertilizers on the physical and chemical properties of Pomegranate (*Punica granatum* cv. Ardestani) fruits. *Horticultural Science*, 52, 288–294. <https://doi.org/10.21273/HORTSCI11248-16>
27. Davarpanah, S., Tehranifar, A., Davarynejad, G., Abadía, J., & Khorassani, R. (2016). Effects of foliar applications of zinc and boron nano-fertilizers on pomegranate (*Punica granatum* cv. Ardestani) fruit yield and quality. *Scientia Horticulturae*, 210, 57-64. <https://doi.org/10.1016/j.scienta.2016.07.003>
28. De la Rosa, R., Rallo, L., & Rapoport, H.F. (2000). Olive floral bud growth and starch content during winter rest and spring budbreak. *Horticultural Science*, 35, 1223-1227.
29. Du, G., Li, M., Ma, F., & Liang, D. (2009). Antioxidant capacity and the relationship with polyphenol and vitamin C in *Actinidia* fruits. *Food Chemistry*, 113, 557-562.
30. Elbadawy, N., Hegazi, E., Yehia, T., Abourayya, M., & Mahmoud, T. (2016). Effect of nitrogen fertilizer on yield, fruit quality and oil content in Manzanillo olive trees. *Journal of Arid Land Studies*, 26, 175-177.
31. El-Salhy, A.M., Al-Wasfy, M.M., Badawy, E.F.M., Gouda, F.M., & Shamroukh, A.A. (2021). Effect of nano-potassium fertilization on fruiting of Zaghoul date palm. *SVU-International Journal of Agricultural Science*, 3(1), 1-9.
32. European Economic Commission (EEC). (1991). Characteristics of olive and olive pomace oils and their analytical methods. Regulation EEC/2568. *Official Journal of the European Communities*, 248, 1-82.
33. Fernández-Escobar, R., Beltrán, G., Sánchez-Zamora, M.A., García-Novelo, J., Aguilera, M.P., & Uceda, M. (2006). Olive oil quality decreases with nitrogen over-fertilization. *Horticulturae Scientia*, 41, 215–219.
34. Fernández-Escobar, R., Parra, M., Navarro, C., & Arquero, O. (2009). Foliar diagnosis as a guide to olive fertilization. *Spanish Journal of Agricultural Research*, 7, 212-223. <https://doi.org/10.5424/sjar/2009071-413>
35. Fernández-Escobar, R., García-Novelo, J., & Restrepo-Díaz, H. (2011). Mobilization of nitrogen in the olive bearing shoots after foliar application of urea. *Scientia Horticulturae*, 127, 452-454. <https://doi.org/10.1016/j.scienta.2010.10.006>
36. Froment, M.A., Turley, D., & Collings, L.V. (2000). Effect of nutrition on growth and oil quality in linseed. *Tests Agrochemistry Culture*, 21, 29-30.
37. Ghormade, V., Deshpande, M.V., & Paknikar, K.M. (2011). Perspectives for nano-biotechnology enabled protection and nutrition of plants. *Biotechnology Advances*, 29, 792–803.
38. Gucci, R., Lodolini, E., & Rapoport, H. (2007). Productivity of olive trees with different water status and crop load. *The Journal of Horticultural Science and Biotechnology*, 82, 648-656. <https://doi.org/10.1080/14620316.2007.11512286>
39. Guru, T., Thatikunta, R., & Reddy, N. (2015). Crop nutrition management with nano fertilizers. *International Journal of Environmental Science and Technology*, 1, 4-6.
40. Hasani, M., Zamani, Z., Savaghebi, G., & Sheikh Sofla, H. (2016). Effect of foliar and soil application of urea on leaf nutrients concentrations, yield and fruit quality of pomegranate. *Journal of Plant Nutrition*, 39, 749–755.
41. Hegazi, E.S., Mohamed, S.M., El-Sonbaty, M.R., Abd El-Naby, S.K.M., & El-Sharony, T.F. (2011). Effect of potassium nitrate on vegetative growth, nutritional status, yield and fruit quality of olive cv. Picual. *Journal of Horticultural Science and Ornamental Plants*, 3, 252-258.
42. Holmes, M.R.J., & Bennett, D. (1979). Effect of nitrogen fertilizer on the fatty acid composition of oil from low erucic acid rape varieties. *Journal of the Science of Food and Agriculture*, 30, 264-266.
43. Inglese, P., & Gullo, G. (2000). Fruit growth and oil quality in relation to foliar nutrition and time of application in olive tree [*Olea europaea* L-Calabria]. *Atti V Giornate Scientifiche SOI*, 2, 567–568.
44. Inglesias, D.J., Iiso, L.L., Tadeo, F.R., & Talon, M. (2002). Regulation of photosynthesis through source: sink imbalance in citrus is mediated by carbohydrate content in leaves. *Plant Physiology*, 116, 563-572.
45. International Olive Oil Council (IOOC). (2011). Guide for the determination of the characteristics of Oil Olives. *International Olive Oil Council COI/OH/Doc. No 1*.



46. Irigoyen, J., Einerich, D., & Sánchez-Díaz, M. (1992). Water stress induced changes in concentrations of proline and total soluble sugars in nodulated alfalfa (*Medicago sativa*) plants. *Physiology Plant*, 84, 55-60. <https://doi.org/10.1111/j.1399-3054.1992.tb08764.x>
47. Kumar, M., Dwivedi, R., Anand, A.K., & Kumar, A. (2014). Effect of nutrient on physicochemical characteristics of phalsa (*Grewia subinaequalis* D.C.) fruits. *Journal of Bioscience and Biotechnology*, 3, 320-323.
48. Lee, Y.J, Yang, C.M., Chang, K.W., & Shen, Y. (2011). Effects of nitrogen status on leaf anatomy, chlorophyll content and canopy reflectance of paddy rice. *Botanical Studies*, 52, 295-303.
49. Mailer, R., & Beckingham, C. (2006). Testing olive oil quality: chemical and sensory methods. *Primefact P*, 231, 1-5.
50. Marschner, P. (2012). *Marschner's mineral nutrition of higher plants*. 3rd ed, p. 651. Academic Press. Elsevier Ltd. <https://doi.org/10.1016/C2009-0-63043-9>
51. Mastronardi, E., Tsae, P., Zhang, X., Monreal, C., & DeRosa, M.C. (2015). Strategic role of nanotechnology in fertilizers: potential and limitations. Nanotechnologies in food and agriculture. Rai, M., N. Duran, C. Ribeiro, L. Mattoso. Springer Cham Heidelberg New York Dordrecht London. Springer International Publishing Switzerland. [https://doi.org/10.1007/978-3-319-14024-7\\_2](https://doi.org/10.1007/978-3-319-14024-7_2)
52. Masumi, S.A., & Arzani, K. (1998). Study of pollination and determine the best inseminator of olive Roghani Mahalli roudbar cultivars. *Journal of Seed and Plant*, 14, 20-29.
53. Minguez-Mosquera, M.I., Rejano L., Gandul B., Sanchez, A.H., & Garrido, J. (1991). Color pigment correlation in virgin olive oil. *Journal of the American Oil Chemists' Society*, 68, 322-337.
54. Mitre, I., Mitre V., Sestras, A.F., & Sestras, R.E. (2012). Effects of fall applications of urea in order to improve fruit sizes, weight and buds cold hardiness in sweet cherry. *Bull Univ Agr Sci Vet Med Cluj-Napoca Horticulture*, 69, 248-253.
55. Monreal, C.M. (2010). Nanofertilizers for increased N and P use efficiencies by crops. p. 12-13. In summary of information currently provided to MRI concerning applications for Round 5 of the Ontario Research Fund-Research Excellence program.
56. Naderi, M., Danesh Shahraki, A.A., & Naderi, R. (2011). Application of nanotechnology in the optimization of formulation of chemical fertilizers. *Iran Journal Nanotechnology*, 12, 16-23.
57. Nazaran, M.H. (2012). *Chelate compounds*. US Patent 8, 288.
58. Nestby, R., Lieten, F., Pivot, D., Lacroix, C.R., & Tagliavini, M. (2005). Influence of mineral nutrients on strawberry fruit quality and their accumulation in plant organs: *Acta Horticulturae*, 5, 139-156. [https://doi.org/10.1300/J492v05n01\\_13](https://doi.org/10.1300/J492v05n01_13)
59. Netto, A.T., Campostrini, E., de Oliveira, J.G., & Bressan-Smith, R.E. (2005). Photosynthetic pigments, nitrogen, chlorophyll a fluorescence and SPAD-502 readings in coffee leaves. *Scientia Horticulturae*, 104, 199-209. <https://doi.com/10.1016/j.scienta.2004.08.013>
60. Norozi, M.M., ValizadehKaji, B., Karimi, R., & NikoogoftarSedghi, M.A. (2019). Effects of foliar application of potassium and zinc on pistachio (*Pistacia vera* L.) fruit yield. *International Journal of Horticultural Science and Technology*, 6, 113-123. <https://doi.org/10.22059/ijhst.2019.278757.286>
61. Owen, R.W., Mier, W., Giacosa, A., Hull, W. E., Spiegelhalder, B., & Bartsch, H. (2000). Phenolic compounds and squalene in olive oils: the concentration and antioxidant potential of total phenols, simple phenols secoiridoids, lignans and squalene. *Journal of Food and chemical Toxicology*, 38, 647-659.
62. Ramezani, A., Rahemi, M., & Vazifehshenas, M.R. (2009). Effect of foliar application of calcium chloride and urea on quantitative and qualitative characteristics of pomegranate fruits. *Scientia Horticulturae*, 121, 171-175. <https://doi.org/10.1016/j.scienta.2009.01.039>
63. Ramezani, S., & Shekafandeh, A. (2011). Influence of Zn and K sprays on fruit and pulp growth in olive (*Olea europaea* L. cv. 'Amygdalifolia'). *Iran Agricultural Research*, 30, 1-10. <https://doi.org/10.22099/iar.2012.489>
64. Rashidi, S. (2012). *Nano fertilizers in the environment*, First National Conference on Nanotechnology and its Application in Agriculture and Natural Resources, University of Tehran. (In Persian)
65. Rohi Vishekaii, Z., Soleimani, A., Fallahi, E., Ghasemnezhad, M., & Hasani, A. (2019a). The impact of foliar application of boron nano-chelated fertilizer and boric acid on fruit yield, oil content, and quality attributes in olive (*Olea europaea* L.). *Scientia Horticulturae*, 257, 1-8. <https://doi.org/10.1016/j.scienta.2019.108689>
66. Rohi Vishekaii, Z., Soleimani, A., Ghasemnezhad, M., & Hasani, A. (2019b). The feasibility for replacement of urea with nitrogen nano-chelated fertilizer in olive (*Olea europaea* L.) orchards. *Iranian Journal of Plant Physiology*, 10, 3047-3058. <https://doi.org/10.30495/ijpp.2019.670790>
67. Rohi Vishekaii, Z., Soleimani, A., Hasani, A., Ghasemnezhad, M., Rezaei, K., & Kalanaky, S. (2021). Nano-Chelated nitrogen fertilizer as a new replacement for urea to improve olive oil quality. *International Journal of Horticultural Science and Technology*, 8(2), 191-201. <https://doi.org/10.22059/ijhst.2020.295041.332>

68. Rohi Vishekaii, Z., Soleimani, A., Fallahi, E., Hasani, A., & Ghasemnezhad, M. (2022). Response of olive (*Olea europaea* L.) trees to foliar spray of nano chelated and chemical potassium fertilizers. *Journal of Plant Nutrition*, 46, 1-13. <https://doi.org/10.1080/01904167.2022.2072740>
69. Saadati, S., Moallemia, N., Mortazavia, S.M.H., & Seyyednejad, S.M. (2013). Effects of zinc and boron foliar application on soluble carbohydrate and oil contents of three olive cultivars during fruit ripening. *Scientia Horticulturae* 164, 30–34. <https://doi.org/10.1016/j.scienta.2013.08.033>
70. Sarrwy, S.M.A., Mohamed, E.A., & Hassan, H.S.A. (2010). Effect of foliar sprays with potassium nitrate and mono-potassium phosphate on leaf mineral contents, fruit set, yield and fruit quality of Picual olive trees grown under sandy soil conditions. *American-Eurasian Journal of Agricultural and Environmental Sciences*, 8, 420–430.
71. Scott, N., & Chen, H. (2003). Nanoscale science and engineering for agriculture and food systems. A Report Submitted to Cooperative State Research, Education, and Extension Service, the USDA. National.
72. Shereen, A., Shaheen, A.E.L., Taweel, A., & Al-khateb, A. (2011). Effect of using olive vegetation water on growth, flowering and yield of manzanillo olive trees. *Journal of American Science*, 7, 501-510.
73. Singleton, V.L., & Rossi, J.A. (1965). Colorimetry of total phenolics with phosphomolybdic-phosphotungstic acid reagents. *American Journal of Enology and Viticulture*, 16, 144-158.
74. Tekaya, M., Mechri, B., Bchir, A., Attia, F., Cheheb, H., Daassa, M., & Hammami, M. (2013). Enhancement of antioxidants in olive oil by foliar fertilization of olive trees. *Journal of the American Oil Chemists' Society*, 90, 1377–1386. <https://doi.org/10.1007/s11746-013-2286-0>
75. Thanaa, Sh., Mahmoud, M., Enaam, Sh., Mohamed, A., & El-Sharony, T.F. (2017). Influence of foliar application with potassium and magnesium on growth, yield and oil quality of “Koroneiki” olive trees. *American Journal of Food Technology*, 12, 209-220. <https://doi.org/10.3923/ajft.2017.209.220>
76. Toplu, C., Önder, D., Önder, S., & Yıldız, E. (2009). Determination of fruit and oil characteristics of olive (*Olea europaea* L. cv. Gemlik) in different irrigation and fertilization regimes. *African Journal of Agricultural Research*, 4, 649–658.
77. Tura, D., Gigliotti, C., Pedo, S., Failla, O., Bassi, D., & Serraiocco, A. (2007). Influence of cultivar and site of cultivation on levels of lipophilic and hydrophilic antioxidants in virgin olive oils (*Olea europea* L.) and correlations with oxidative stability. *Scientia Horticulturae*, 112, 108–119. <https://doi.org/10.1016/j.scienta.2006.12.036>
78. Walinga, I., Van Vark, W., Houba, V., & van der Lee, J. (1989). *Soil and plant analysis: part 7- plant analysis procedures*. Wageningen Agricultural University, Wageningen.
79. Zhong, Y. (2005). Lipid oxidation: measurement methods. In: Shahidi F. editors. *Bailey's industrial oil products. Edible Oil and Fat Products: Chemistry, Properties, and Health Effects*. 6<sup>th</sup> ed. vol 1. Wiley-Interscience 3616 -78.